



Charakterizace proteinů hmotnostní spektrometrií

Bi7050

Část III

Zbyněk Zdráhal

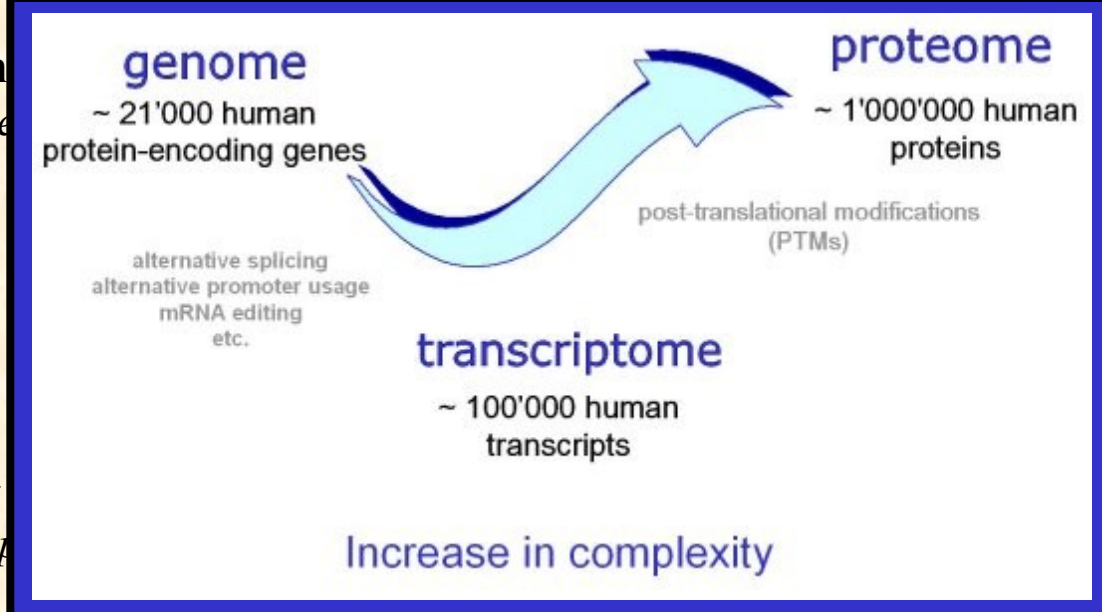
Centrální laboratoř-Proteomika, CEITEC-MU
Oddělení funkční genomiky a proteomiky, ÚEB PřF
zdrahal@sci.muni.cz
www.sci.muni.cz/FGP



Analýza proteomu

- proteinový

lidský genom



- široký

nutnost

reakce

n
(http://hpi/hpi_desc.html)

m okamžiku

oba PCR

- široké spektrum fyzikálně-chemických vlastností

- analýza komplexů

pro úplné pochopení buněčných procesů mnohdy nestačí prostá identifikace jednotlivých proteinů, cca 80% je funkčních jako součást komplexů

Pečlivá příprava vzorku – základní kámen úspěchu

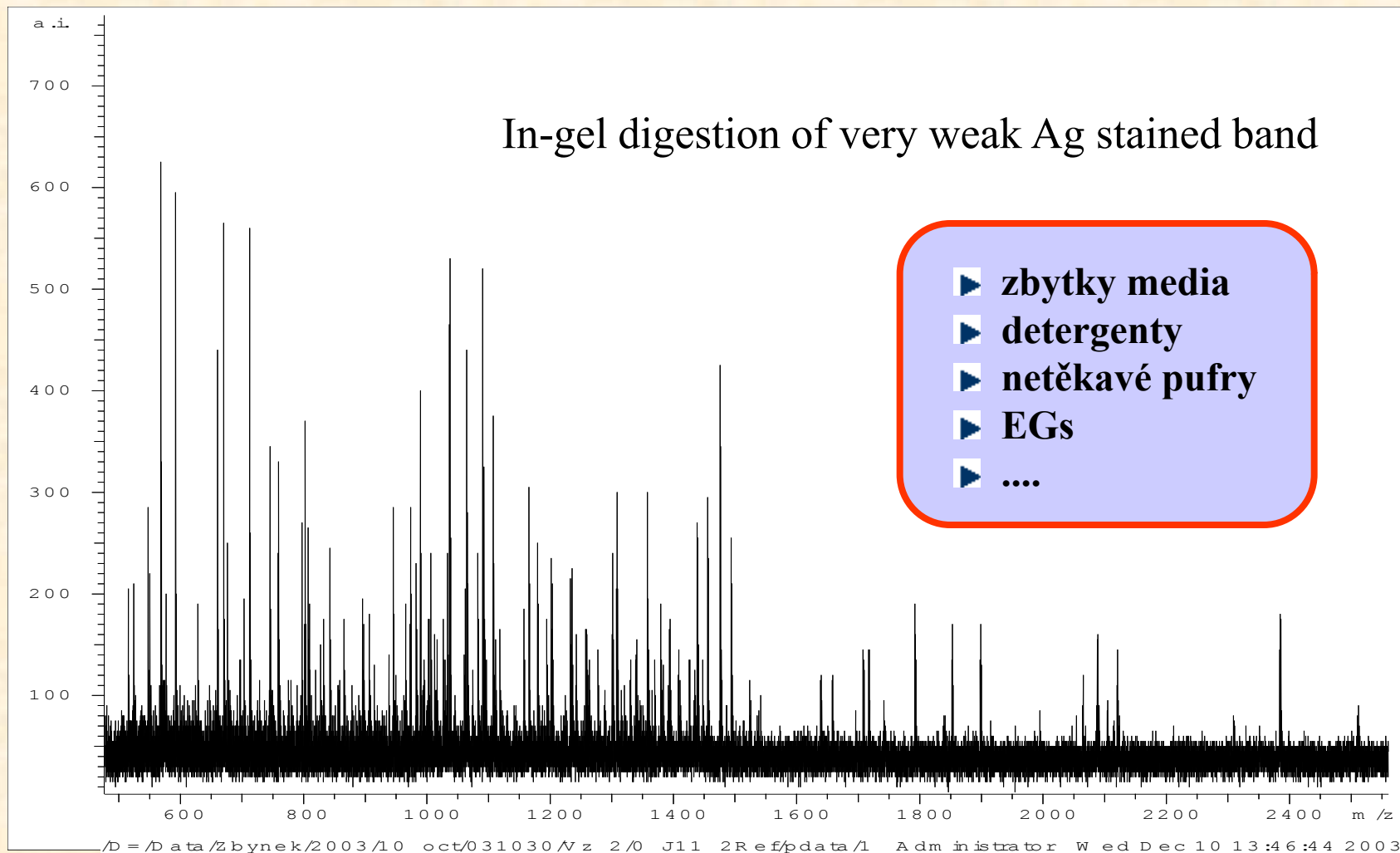


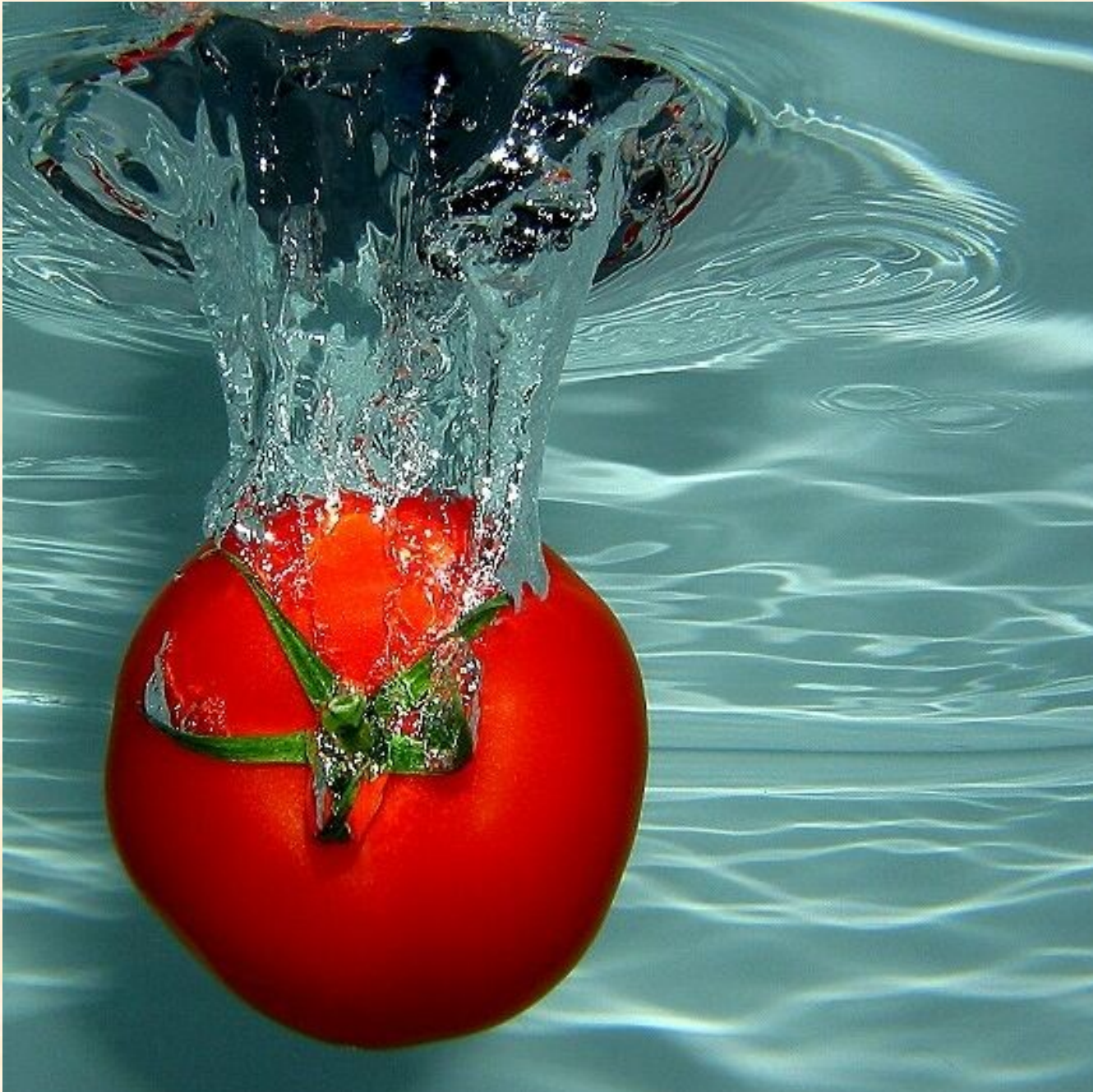
**zachování původního proteinového složení
zachování modifikací (např. inhibitory fosfatáz)**

...

Keratiny !!!

from skin, hair, nails, wollen clothes EVERYWHERE

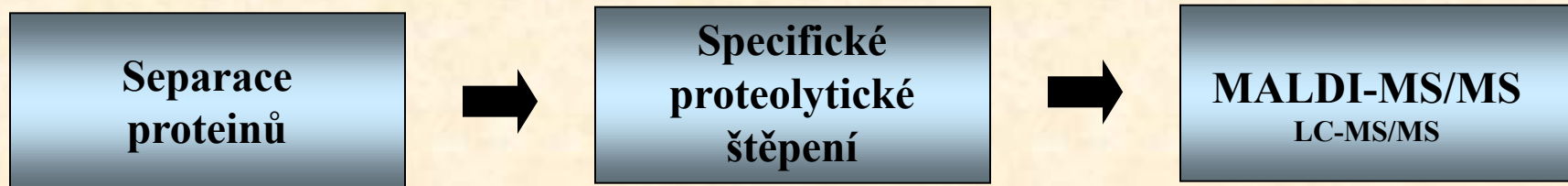




Standardní 1-D postupy

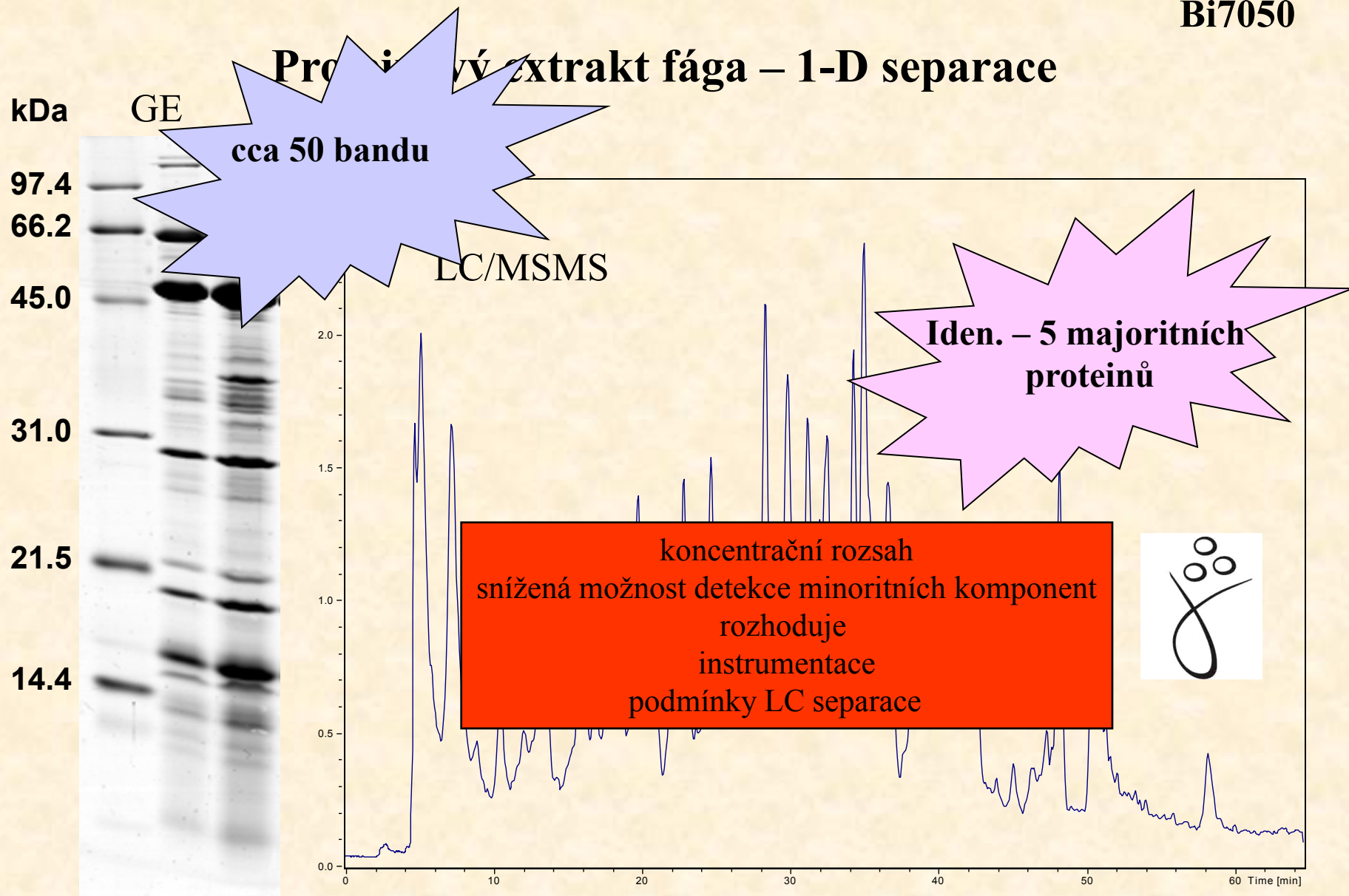
JEDNODUCHÉ SMĚSI

1-D GE



1-D LC-MS/MS
shotgun proteomics





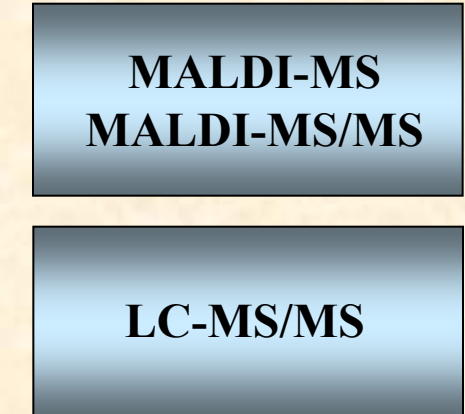
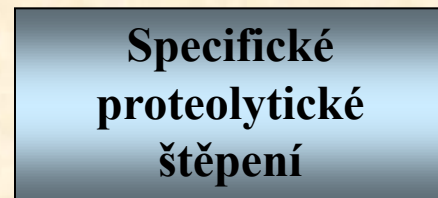




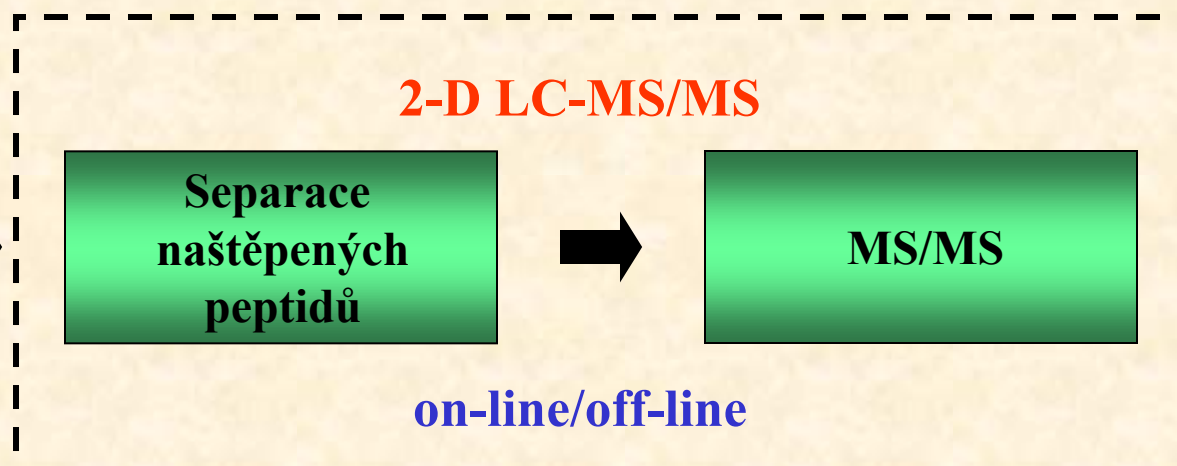
2-D GE



Klasické 2-D postupy

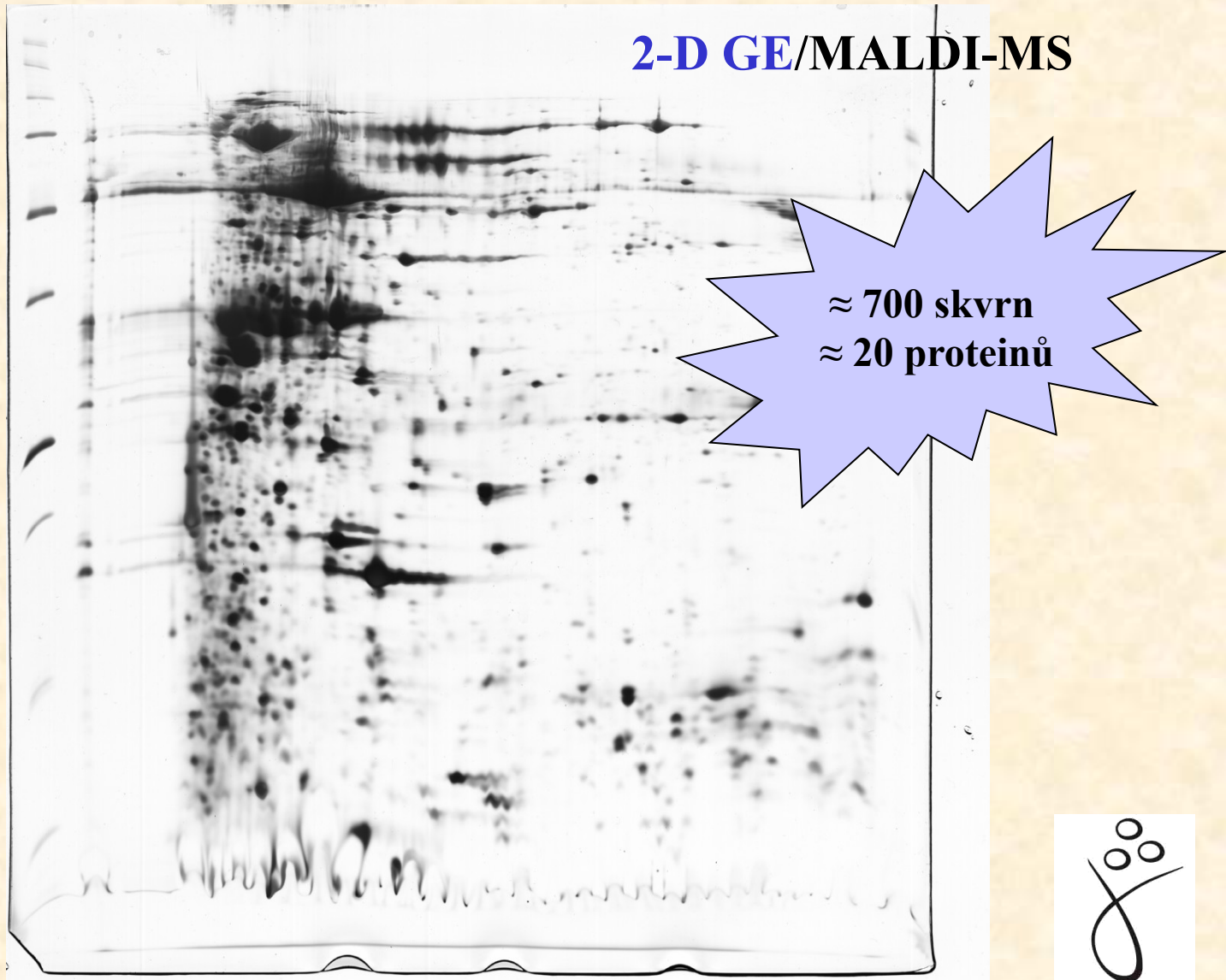


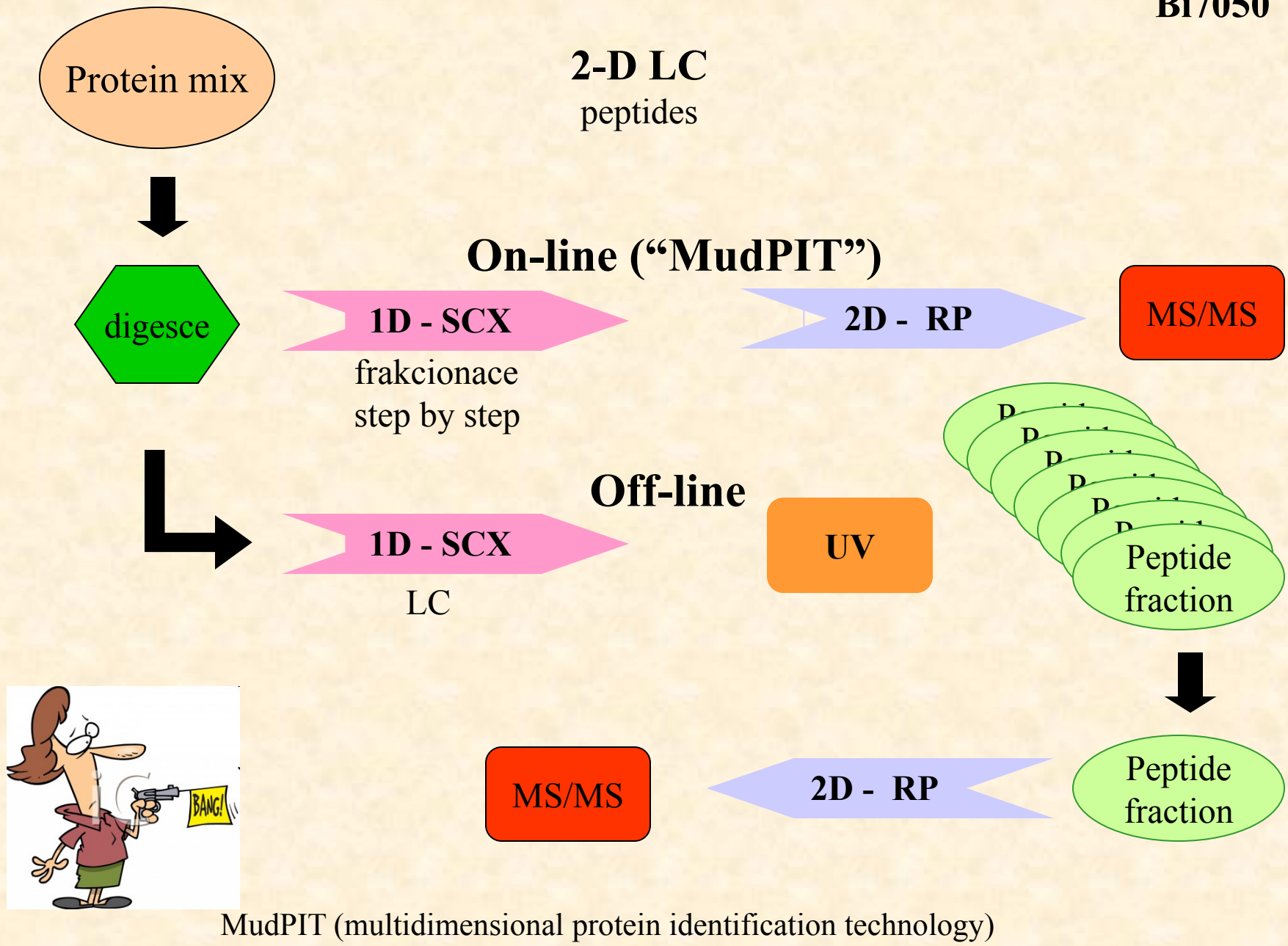
on-line/off-line



Proteinový extrakt fága – 2-D separace

Bi7050





2-D LC peptides

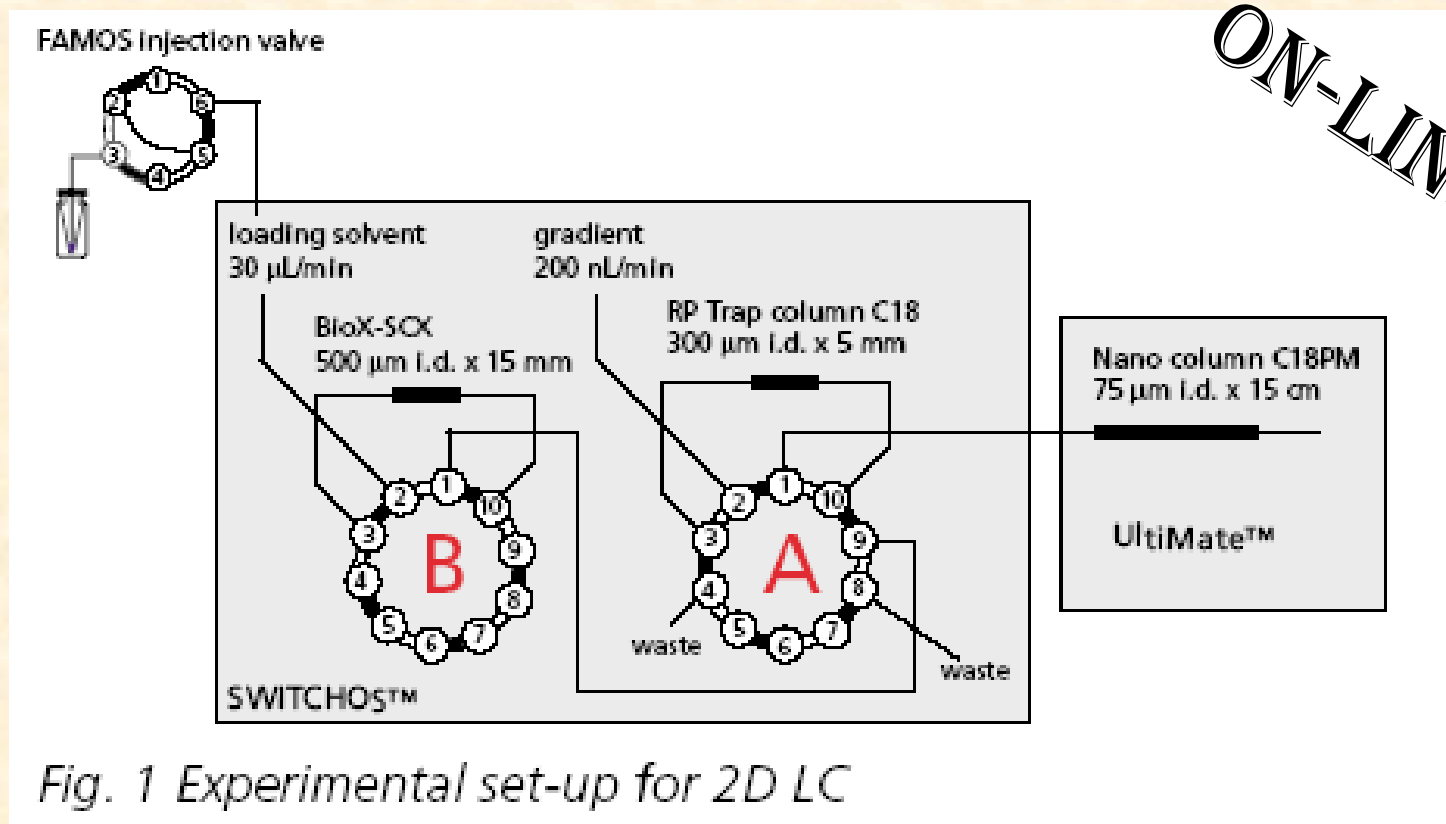


Fig. 1 Experimental set-up for 2D LC

2-D LC (peptides)

ON-LINE

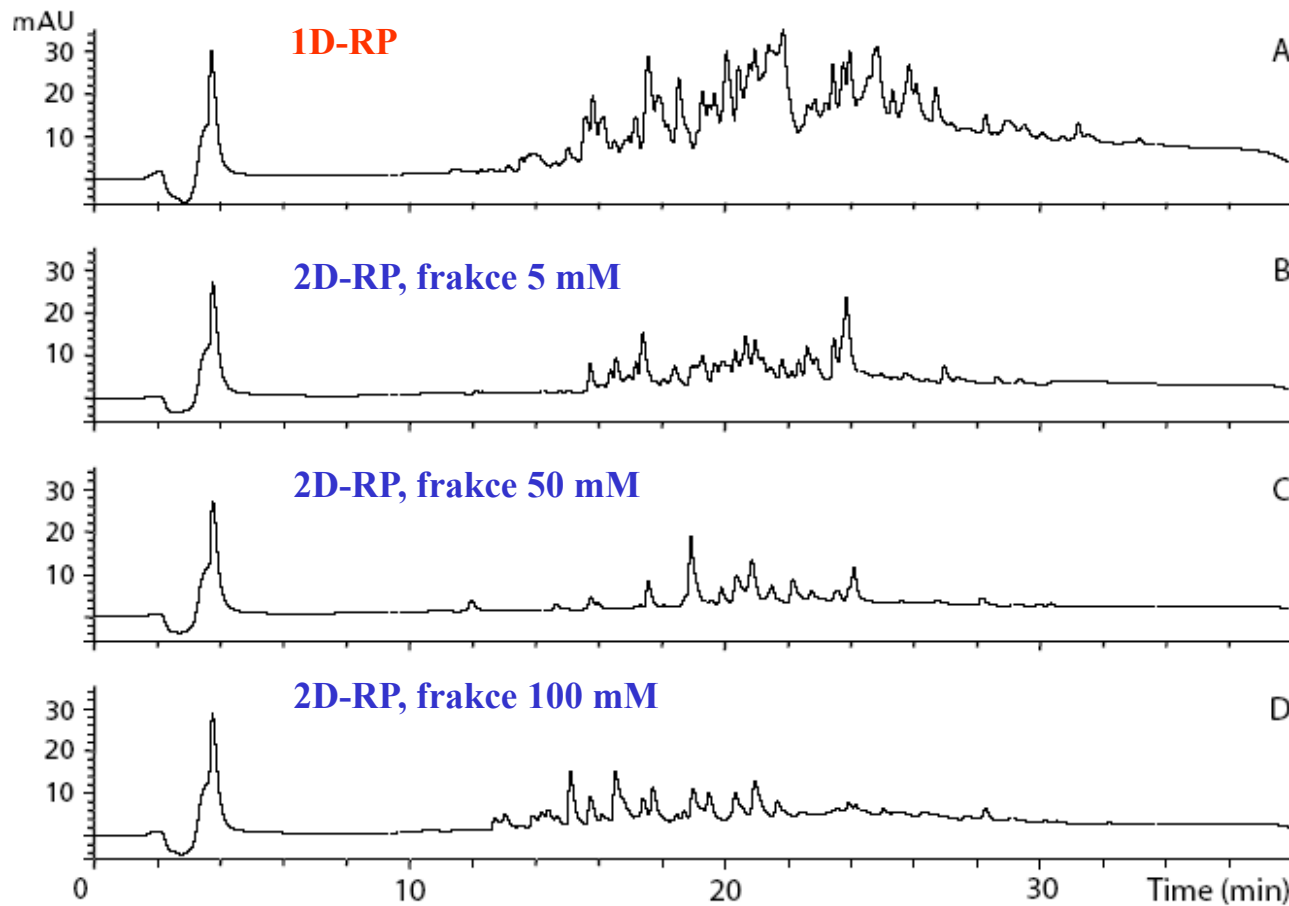


Fig. 2 Chromatograms of the digest mixture. Upper trace is the result of a separation without SCX. The next chromatograms are the result of the 5, 50 and 100 mM fractions. (Not all fractions are shown)

Průměr HPLC kolony vs citlivost

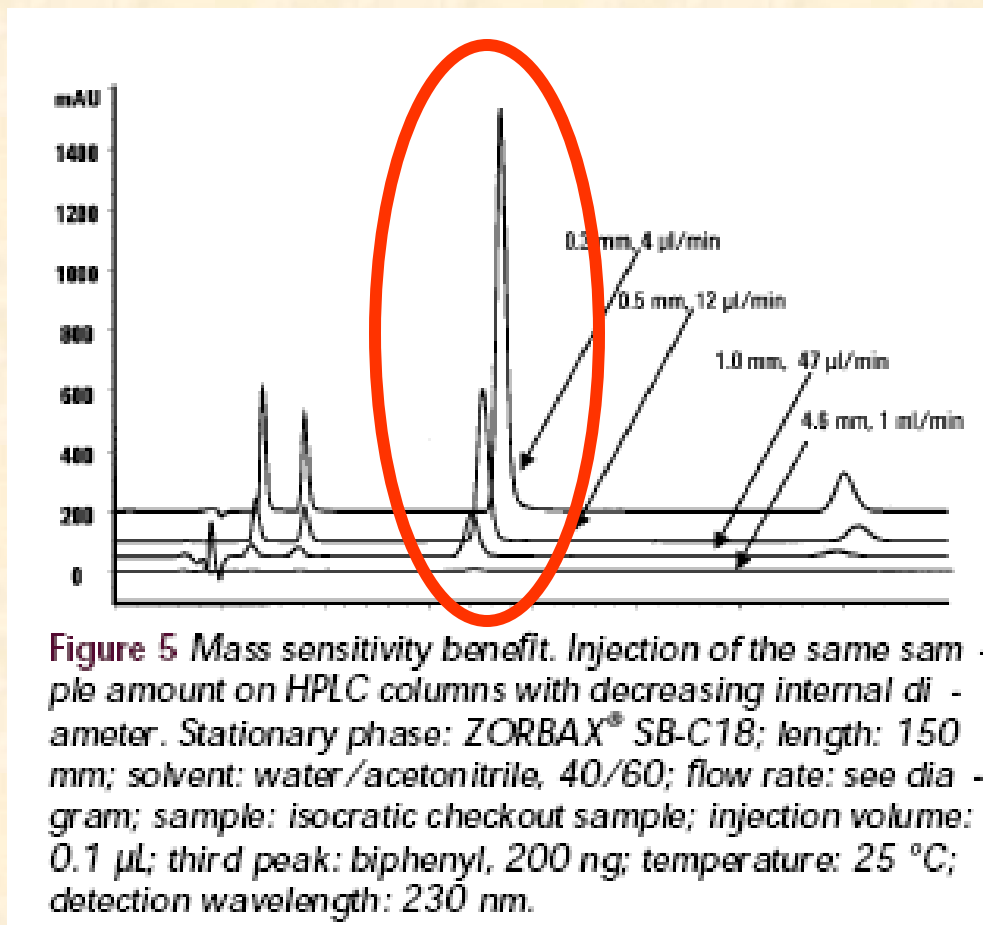


Figure 5 Mass sensitivity benefit. Injection of the same sample amount on HPLC columns with decreasing internal diameter. Stationary phase: ZORBAX® SB-C18; length: 150 mm; solvent: water/acetonitrile, 40/60; flow rate: see diagram; sample: isocratic checkout sample; injection volume: 0.1 µL; third peak: biphenyl, 200 ng; temperature: 25 °C; detection wavelength: 230 nm.

„Sensitivity increases with a decrease in column diameter because the **same sample mass (amount)** is eluted in a smaller volume. Therefore the concentration of the eluting peak is higher and the detection signal is stronger.“

2-D LC
peptides

sorbenty

1-D: **ionex**

IMAC (fosfoproteiny)
affinity (lectin – glyko)

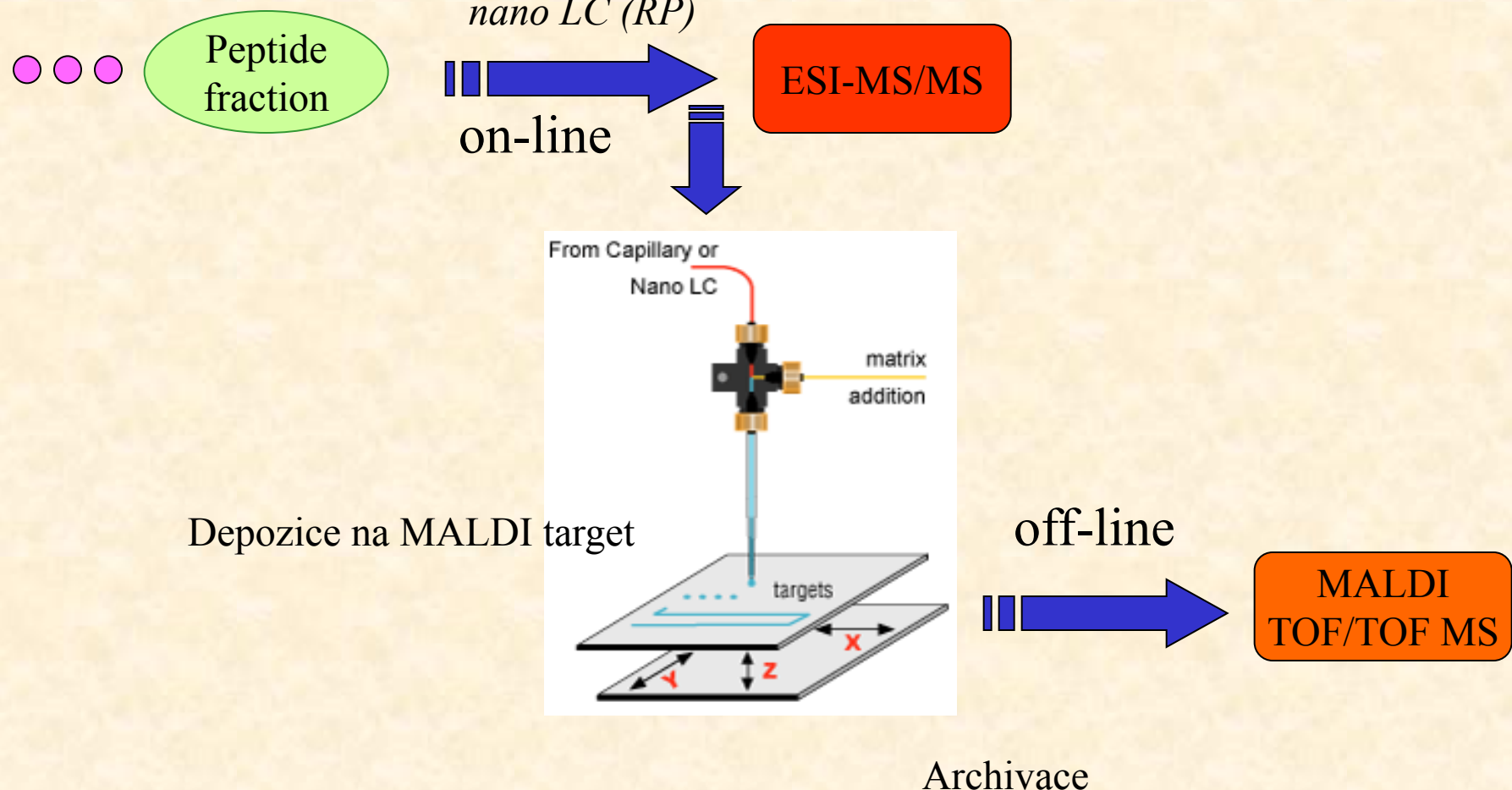
2-D: **reverzní fáze**

On-line vs Off-line

automatizace

flexibilita
optimalizace
kontinuální odběr frakcí

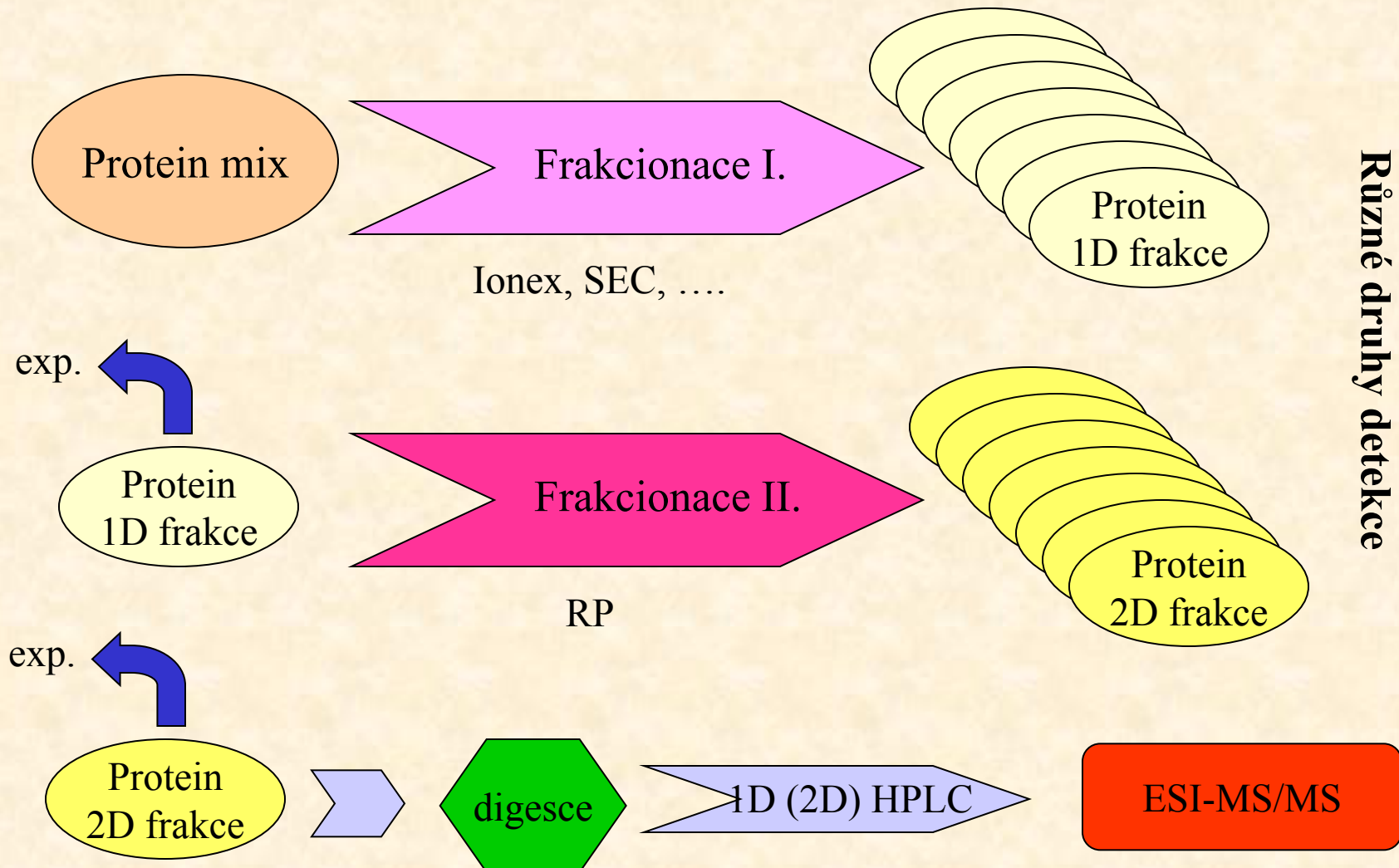
LC –MALDI (peptides)





LC separace komplexních proteinových směsí

Bi7050



LC separace komplexních proteinových směsí

Bi7050

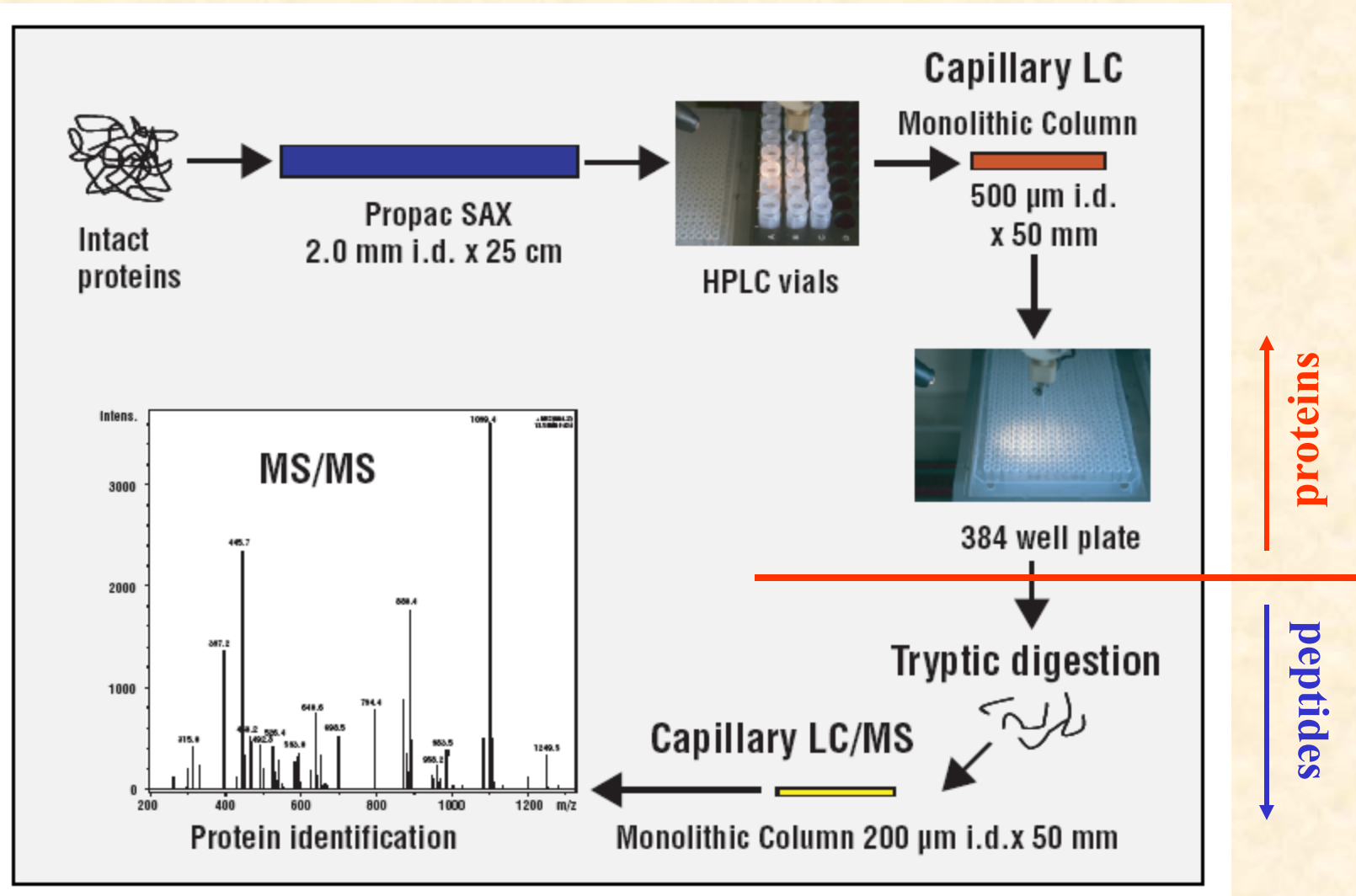
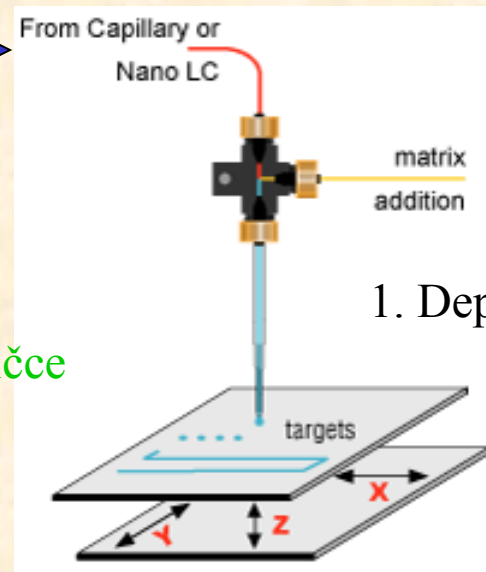


Figure 1: Multidimensional LC work flow.

LC –MALDI (proteins)

Protein mix

|| (2 -D) LC
CE



2. Digesce na destičce

off-line

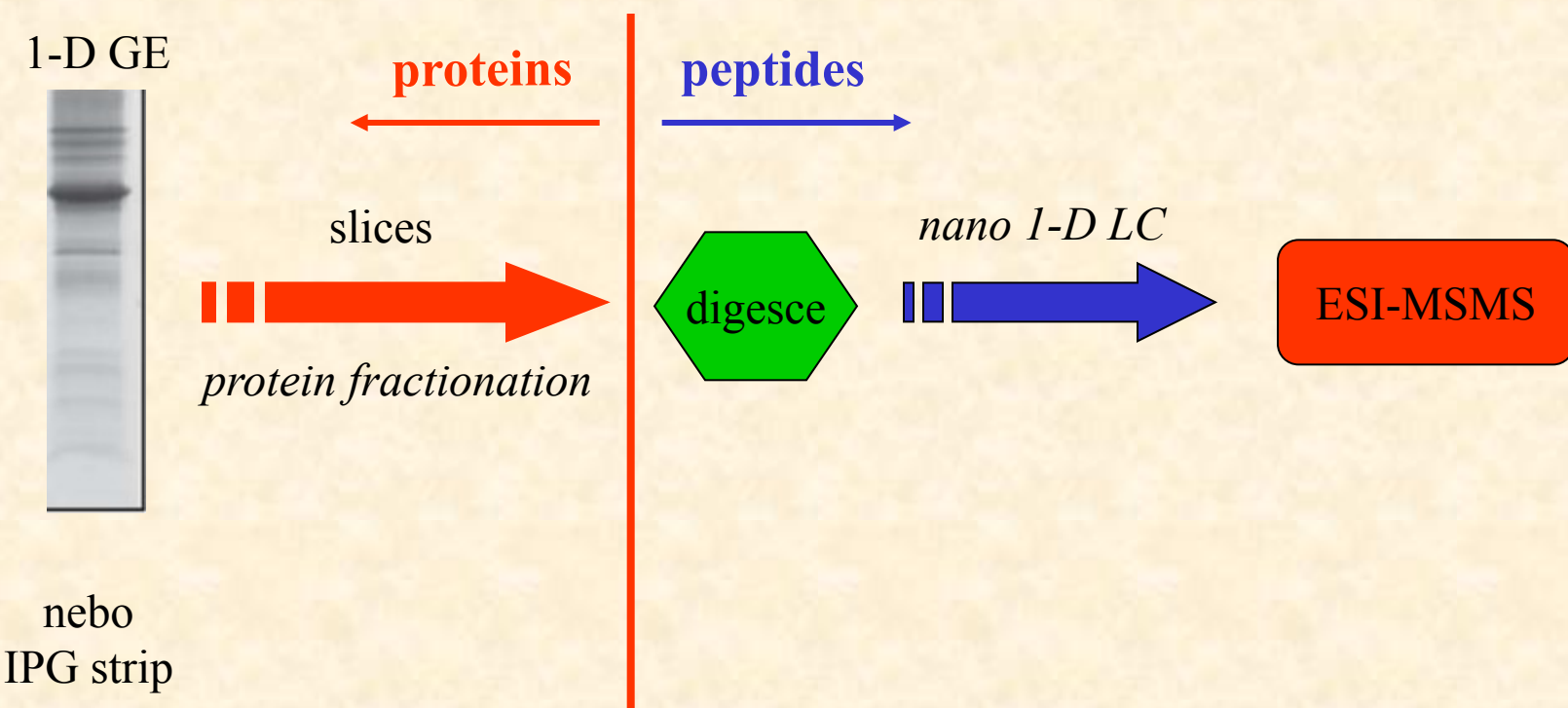
1. Depozice na MALDI target

||

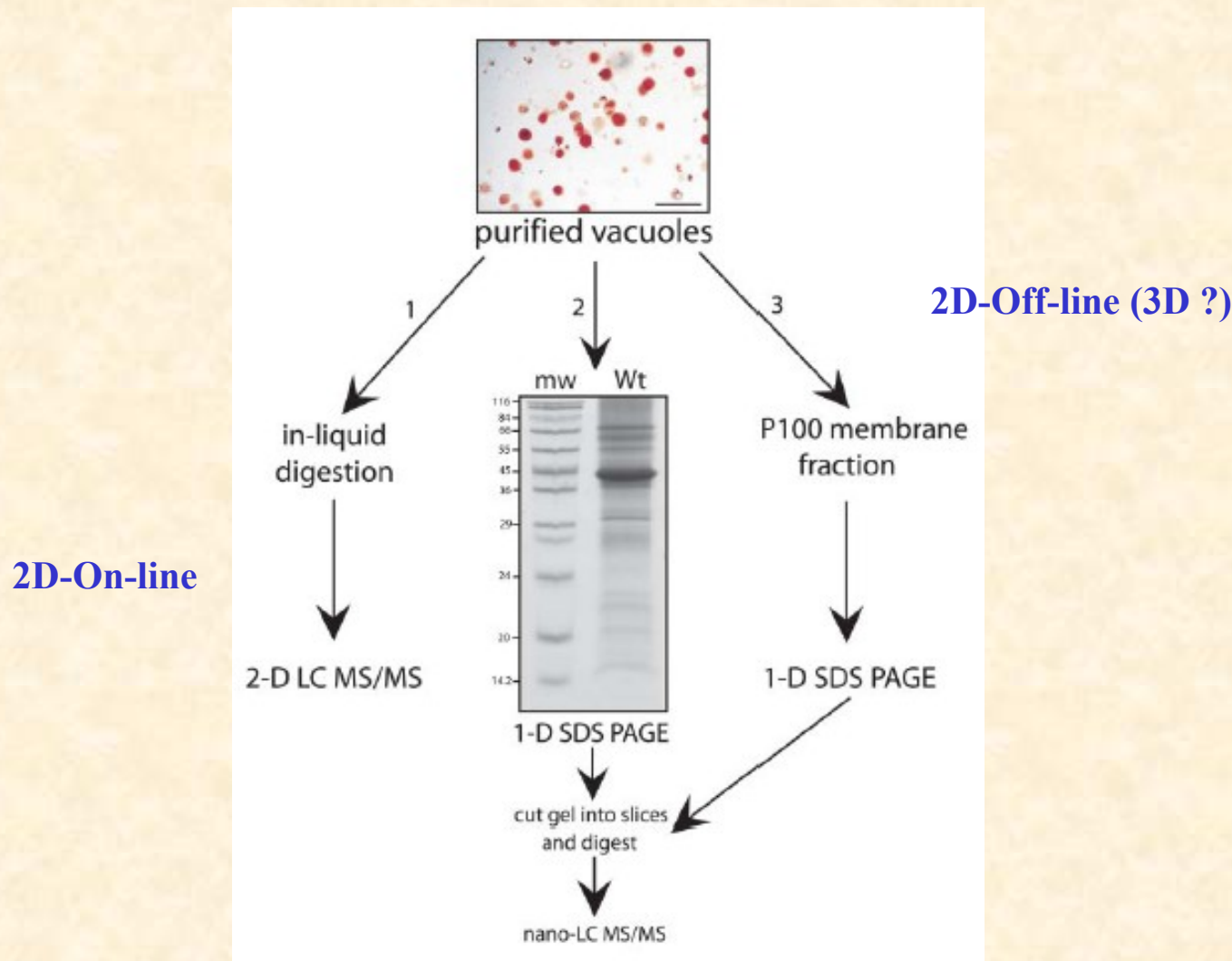
MALDI
TOF/TOF

Kombinace GE a HPLC separace

Bi7050



často používané pro analýzu proteinových komplexů



from Carter et. al. *The Plant Cell*, 2004, **16**, 3285–3303.

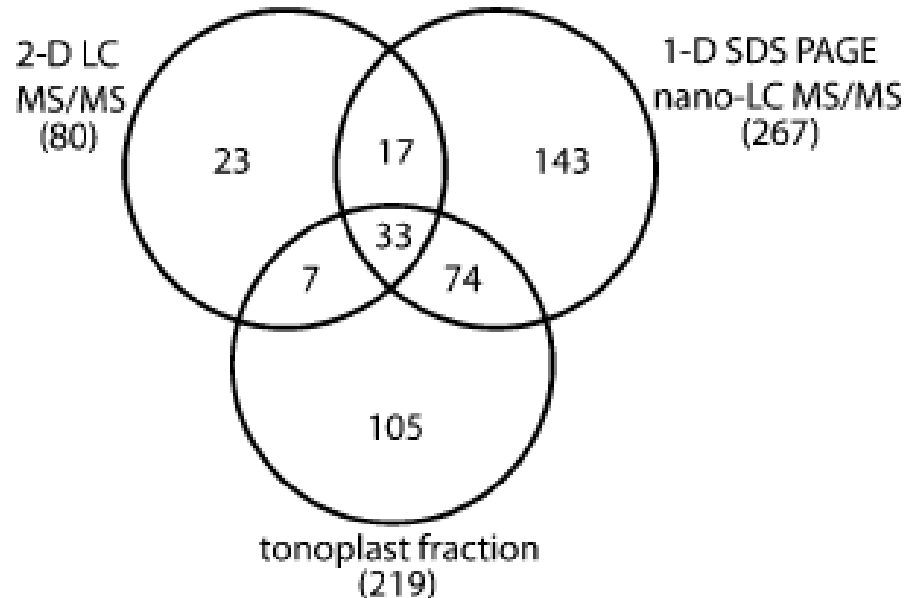
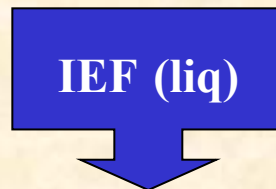


Figure 2. Distribution of Identified Proteins by Different Methods.

Overlap of the different protein sets is shown. Numbers in parentheses indicate the total number of proteins found by a particular method.

Celková analýza proteomu (screening)

Depletovaná plazma
(3500 – 9000 proteinů ??)



0. rozměr

1. rozměr

20 frakcí



2. rozměr

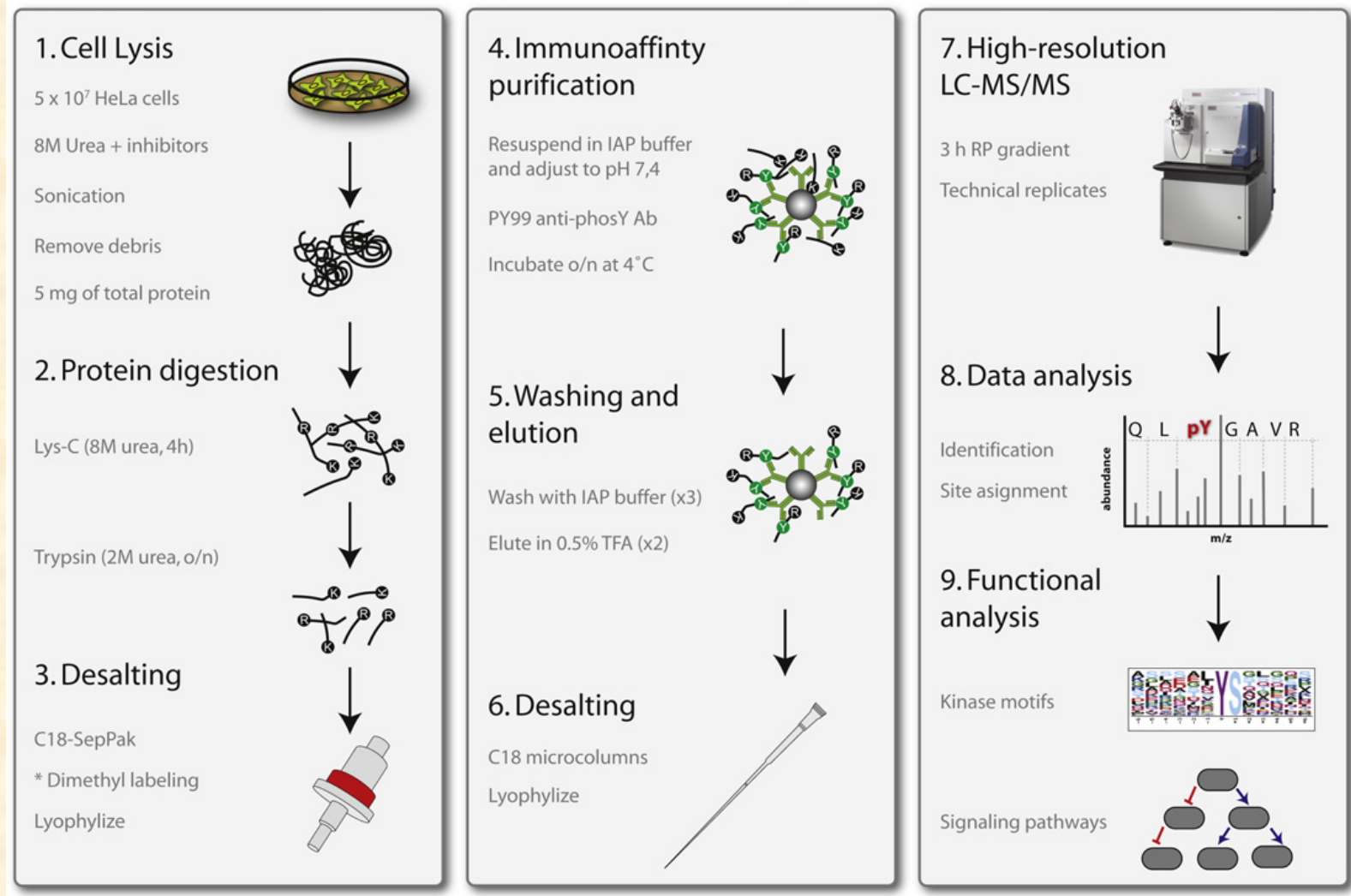
1600 frakcí



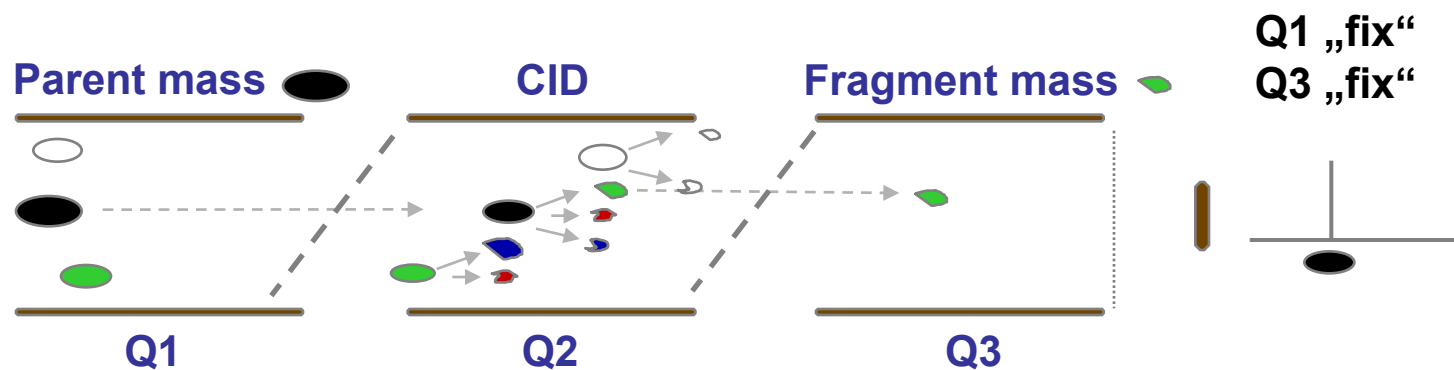
3/4. rozměr

∞ frakcí

Cílená analýza imunoafinitní frakcionace (Y(phos))



Cílená analýza jednotlivých proteinů



- ✿ kvadrupol **Q1** i **Q3** jsou nastaveny na vybrané hodnoty m/z (prekurzoru a vybraného fragmentu), zaznamenány jsou jen prekurzory, z kterých při fragmentaci v kolizní cele **Q2** vzniká určený fragment
- ✿ během analýzy lze sledovat více reakcí (MRM)

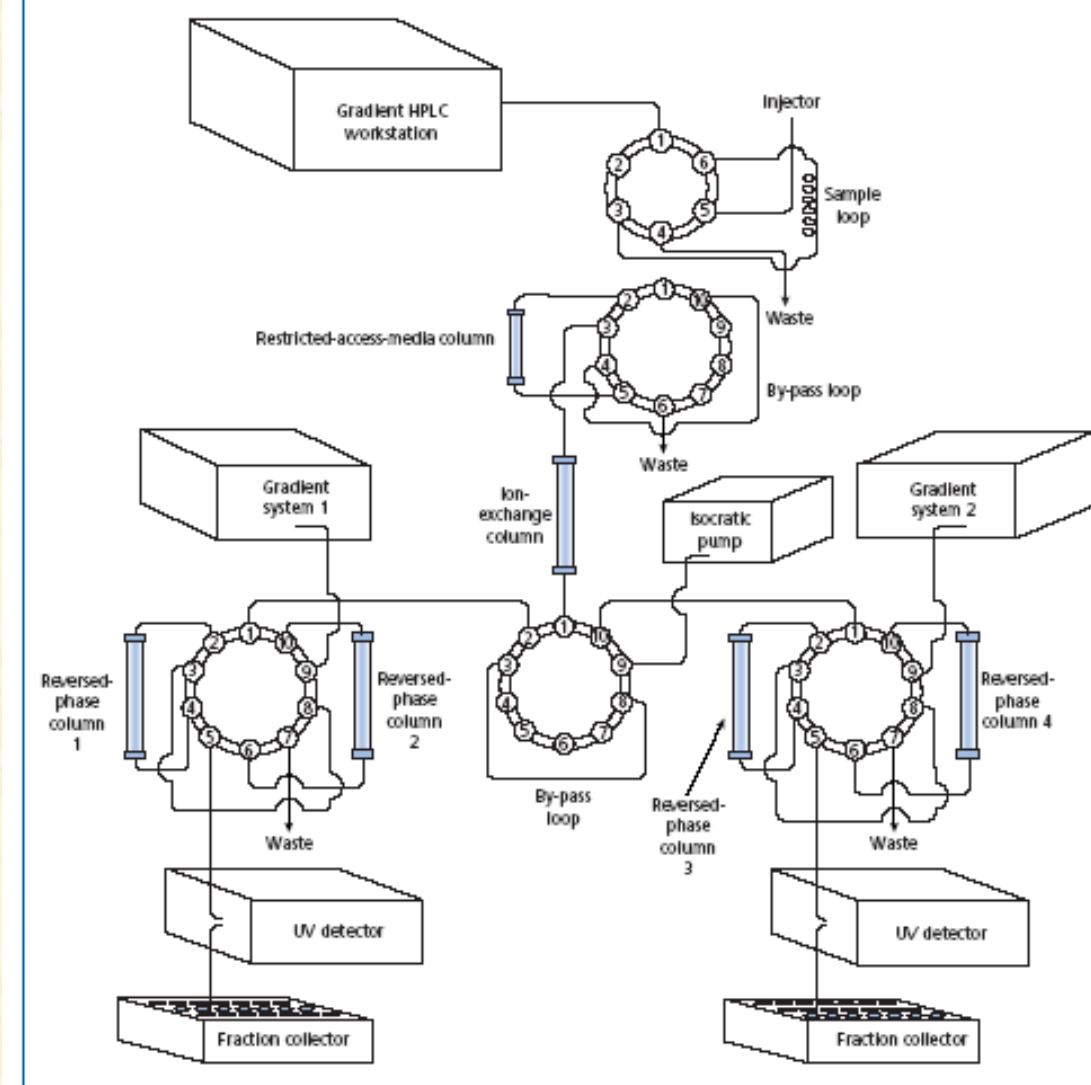


© 2001

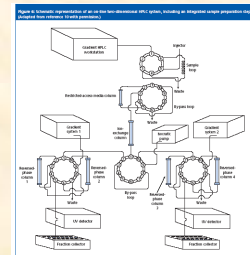
High throughput

Bi7050

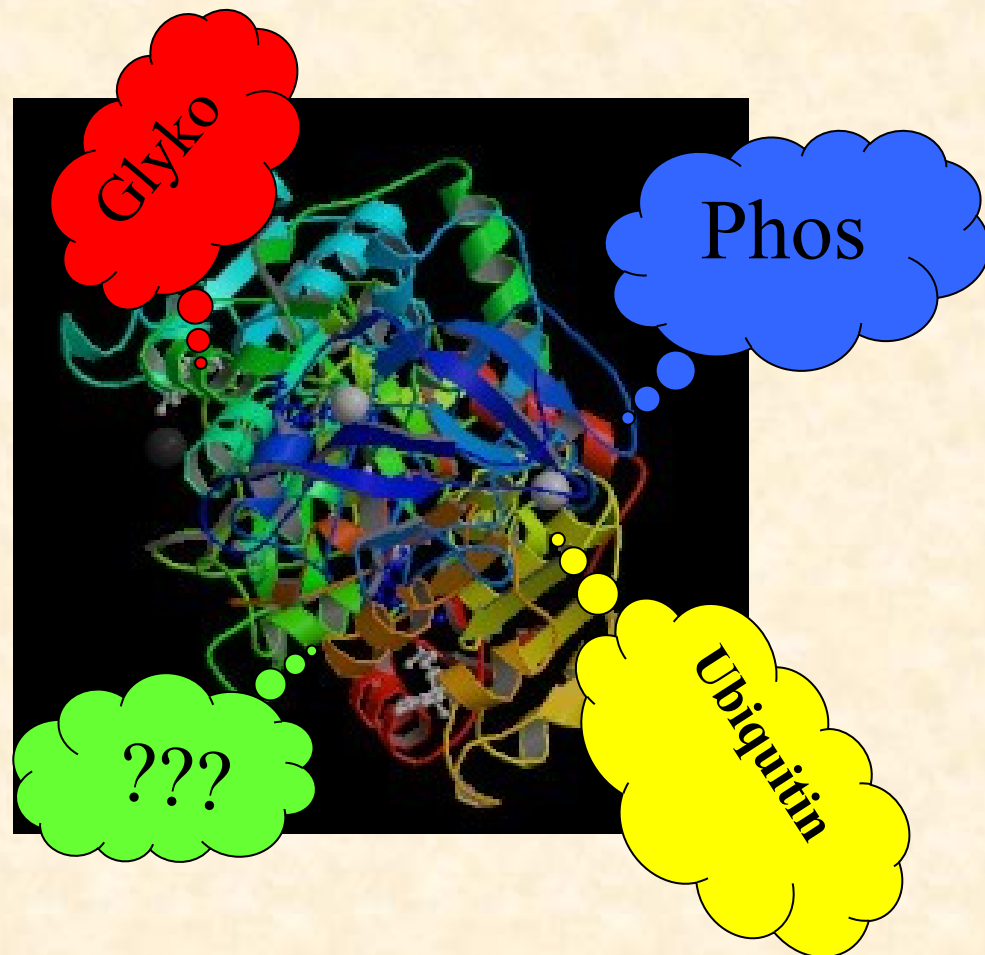
Figure 6: Schematic representation of an on-line two-dimensional HPLC system, including an integrated sample preparation step.
(Adapted from reference 10 with permission.)

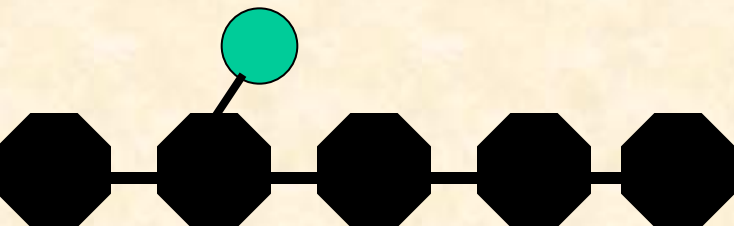
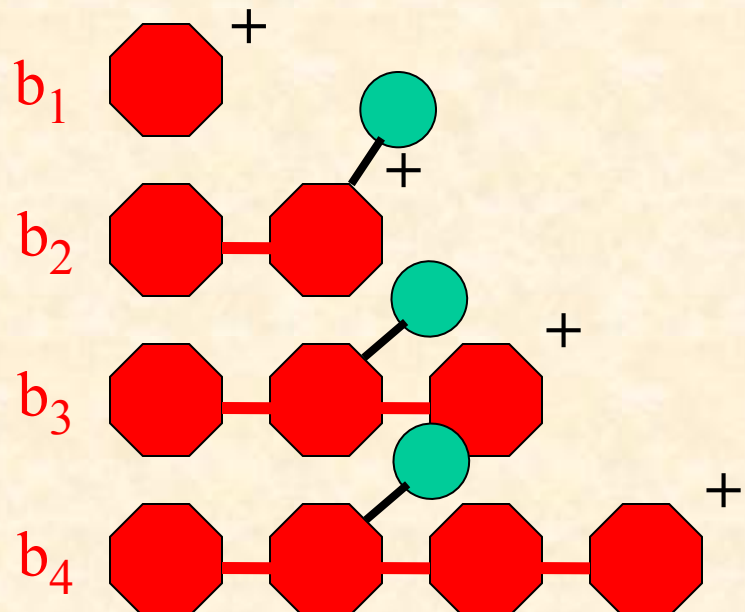
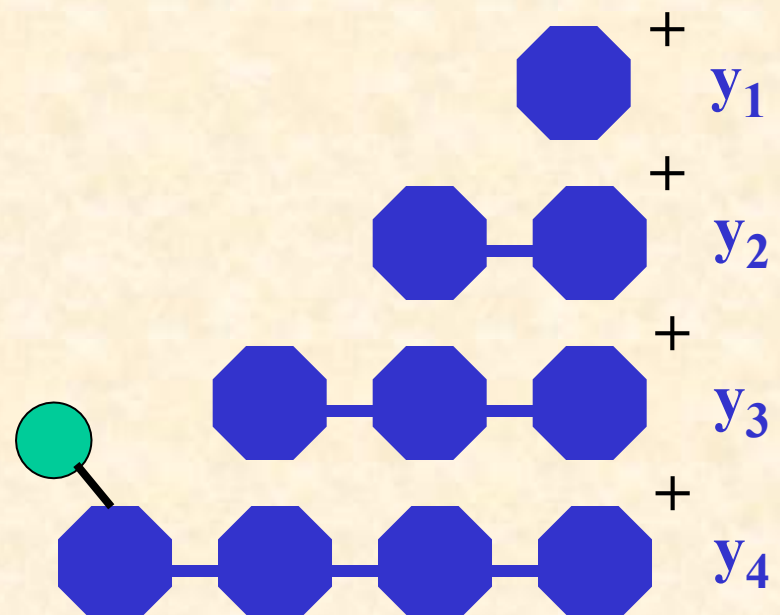


+ Miniaturizace - chip technologie

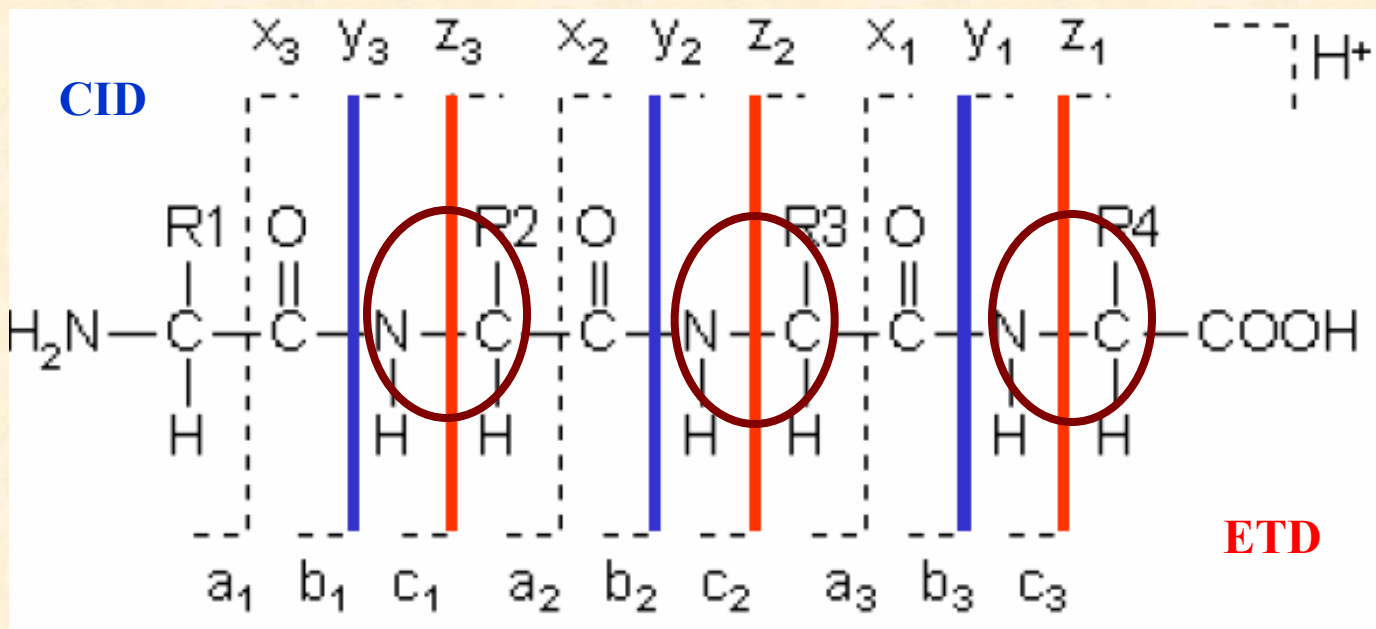


MS CHARAKTERIZACE MODIFIKACÍ



N-terminus**C-terminus****b- ion serie****y- ion serie**

Fragmentace peptidů – CID vs ETD

*b, y**c, z*C-terminus (*z-series*)N-terminus (*c*-series)

Proč analýza modifikací proteinů?



Možnosti MS při analýze modifikací

- Druh
- Místo
- Úroveň



Druhy modifikací:

➤ mutace (záměna AMK)

➤ chemické

➤ posttranslační

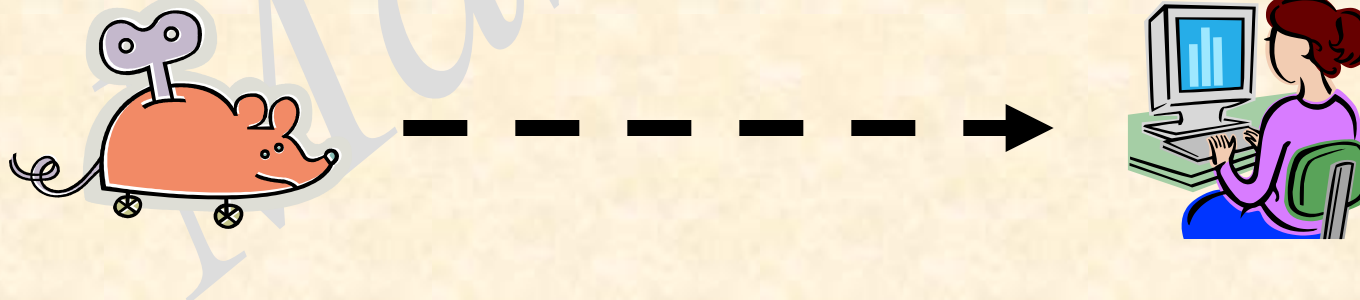
Užitečný přehled modifikací:

DeltaMass <http://www.abrf.org/index.cfm/dm.home>

ExPASy - <http://www.expasy.ch/>

„Chemické“ modifikace:

- záměrné modifikace (*karbamidometylace Cys, N-terminal acetylace, PSD derivatizace, kvantifikační značky aj.*)
- nechtěné modifikace (*oxidace Met, deamidace N → D při purifikaci, adukty farmak*)



Common Posttranslational Modifications

Bi7050

Amines (K/N-terminus)	Methylation	+14.0269	Formylation	+28.0104
	Acetylation	+42.0373	Lipoic acid	+188.3147
	Farnesylation	+204.3556	Myristoylation	+210.3598
	Biotinylation	+226.2994	Palmitoylation	+238.4136
	Stearoylation	+266.4674	Geranylgeranylation	+272.4741
Acids & amides (E/D/Q/N)	Pyroglutamic acid (Q)	-17.0306	Deamidation (Q/N)	+0.9847
	Carboxylation (E/D)	+44.0098		
Hydroxyl groups (S/T/Y)	Phosphorylation	+79.9799	Sulphation	+80.0642
Carbohydrates (S/T/N)	Pentoses	+132.1161	Deoxyhexoses	+146.1430
	Hexosamines	+161.1577	Hexoses	+162.1424
	N-acetylhexosamines	+203.1950	Sialic acid	+291.2579

Další detaily:

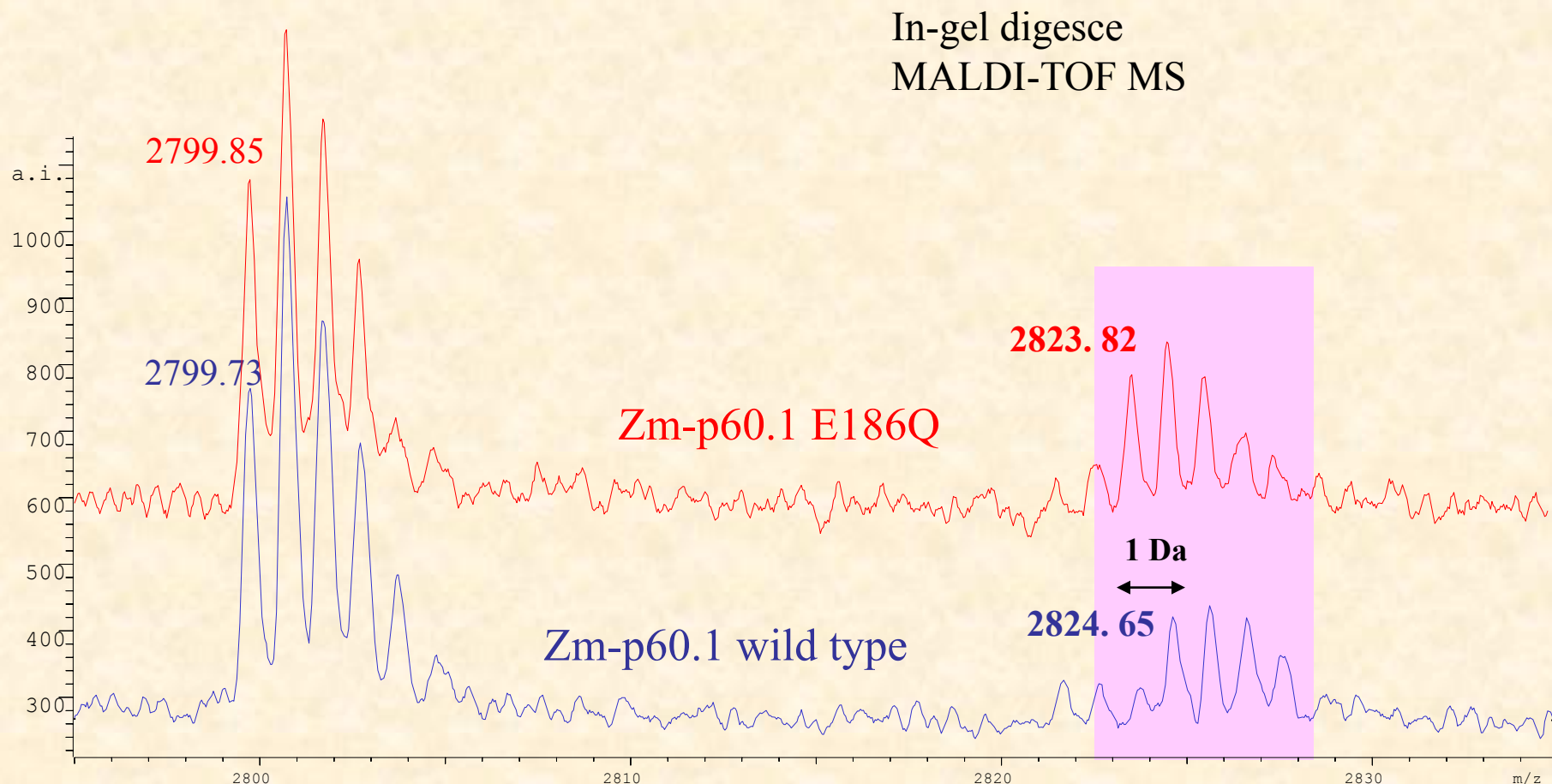
<http://web.indstate.edu/thcme/mwking/protein-modifications.html>

MS CHARAKTERIZACE MUTACÍ

Potvrzení výměny AMK na peptidové úrovni

Protein: Zm-p60 (pozice 186)

wild type 179 - 203 **NWLTFNEPQTFTSFSYGTGVFAPGR** **2824**
E186Q **Q** **2823**
 peptide mass difference: **- 1 Da**



Identifikace výměny AMK na aminokyselinové úrovni

Protein ve dvou variantách v jednom spotu na 2-D gelu

Vstupní informace:

Změna hmotnosti tryptického peptidu: **–14 Da**

...

DEEELQKENVKNTASLTGKITLSVTQSKPETGEVIGVFESIOPSDTDLGAKVPKDVKIQG

...

MALDI-MS potvrzení změny hmotnosti daného peptidu (2 proteázy)
MALDI-PSD nejednoznačné výsledky

LC-MSMS nalezena mutace D/E v pozici 210

...

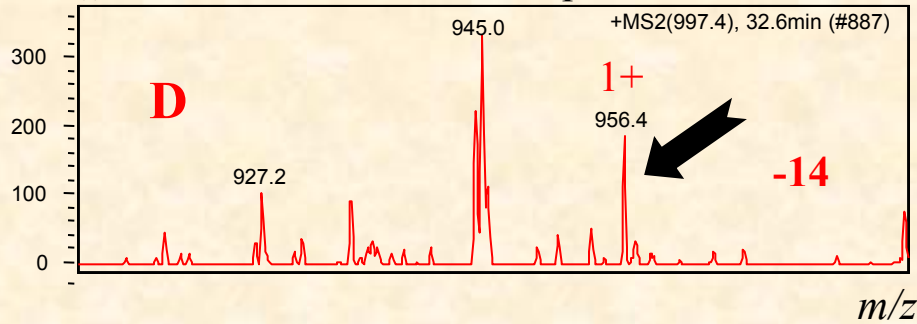
DEEELQKENVKNTASLTGKITLSVTQSKPE**E**TGEVIGVFESIOPSDTDLGAKVPKDVKIQG



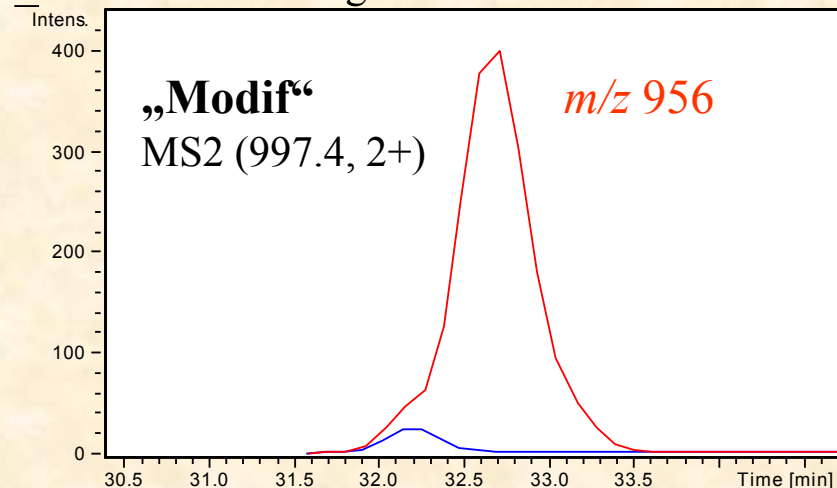
...

MSMS peptidu LSVTQSKP~~X~~TGEVIGVFES, MW 2006.0 (1992.0)

„Modif“ - detail MS/MS spektra

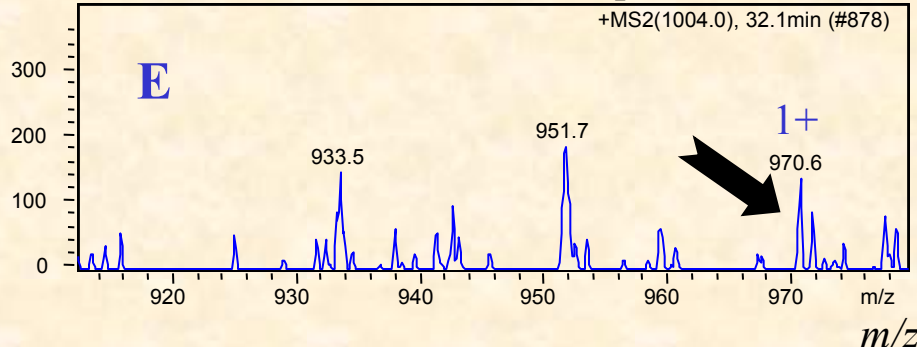


EIC chromatogram

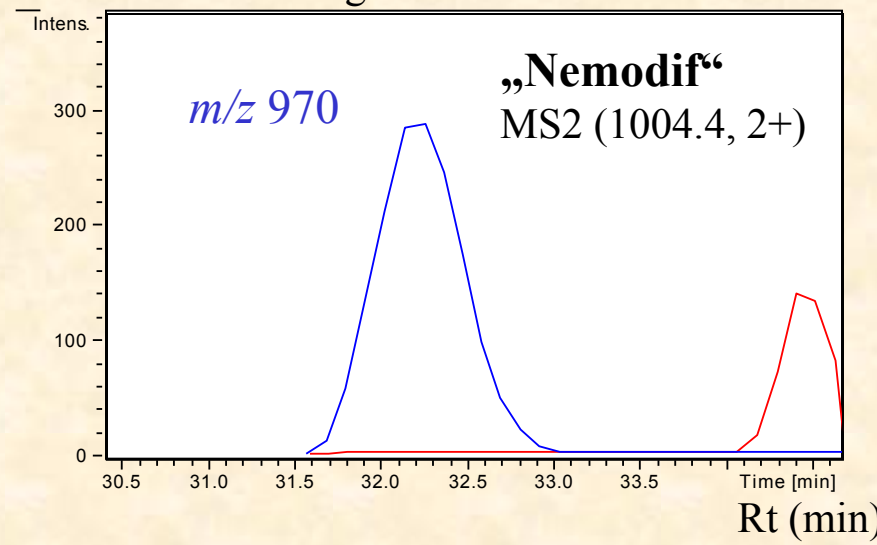


Ion b₉ LSVTQSKP~~X~~ D / E

„Nemodif“ – detail MS/MS spektra



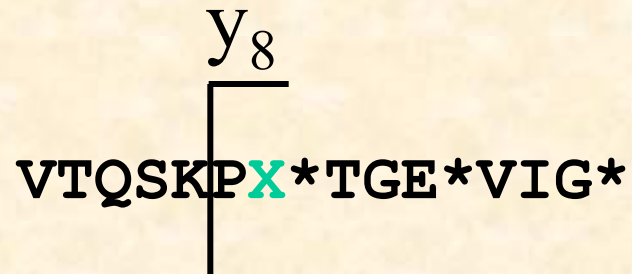
EIC chromatogram



LC-MSMS

methylace, potvrzení D v pozici 210
po derivatizaci výměna H za CH₃ na karboxy skupině
tj. $\Delta = 14 \text{ Da/skupinu}$

D, E a C-terminal
pouze

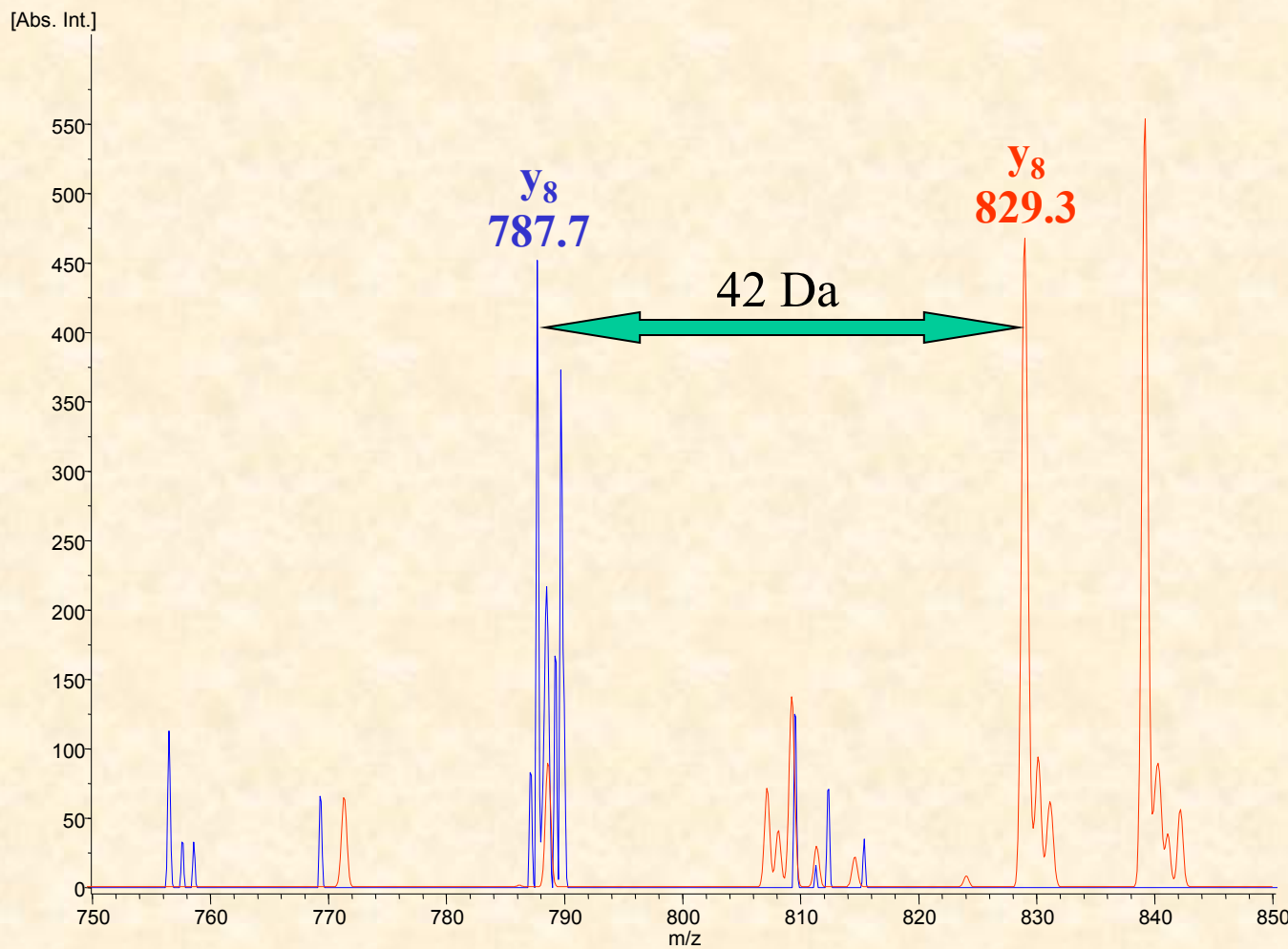


$$\Delta = 42 \text{ Da}$$

y₈ nederiv *m/z* 787.2 pro D

y₈ methyl *m/z* 829.3 pro D

MSMS peptidu VTQSKPXTGEVIG před a po methylaci



**MS CHARAKTERIZACE MODIFIKACÍ
„CHEMICKÉ“**

MALDI-MS spektrum digestů před a po modifikaci

(výřez spektra)

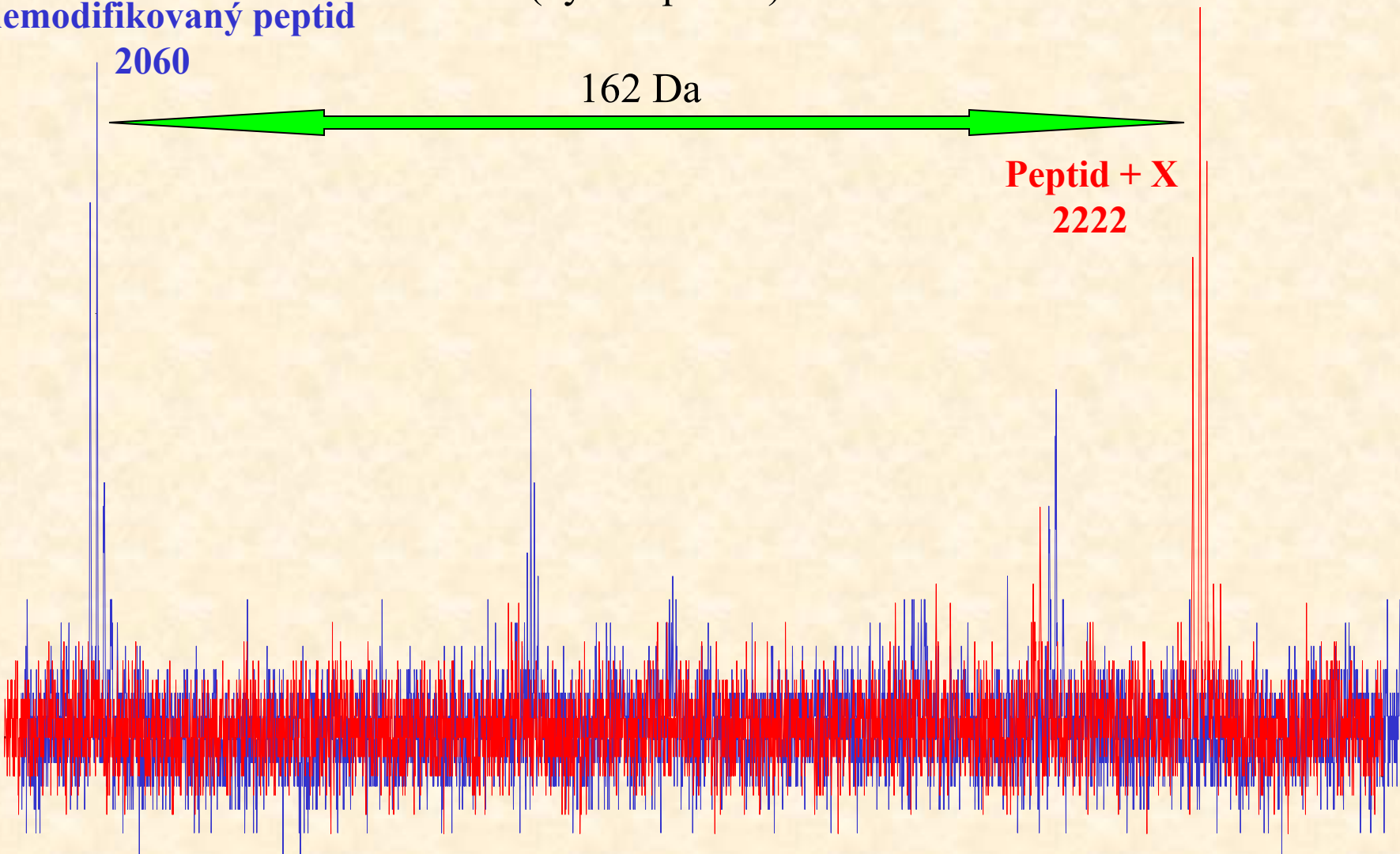
nemodifikovaný peptid

2060

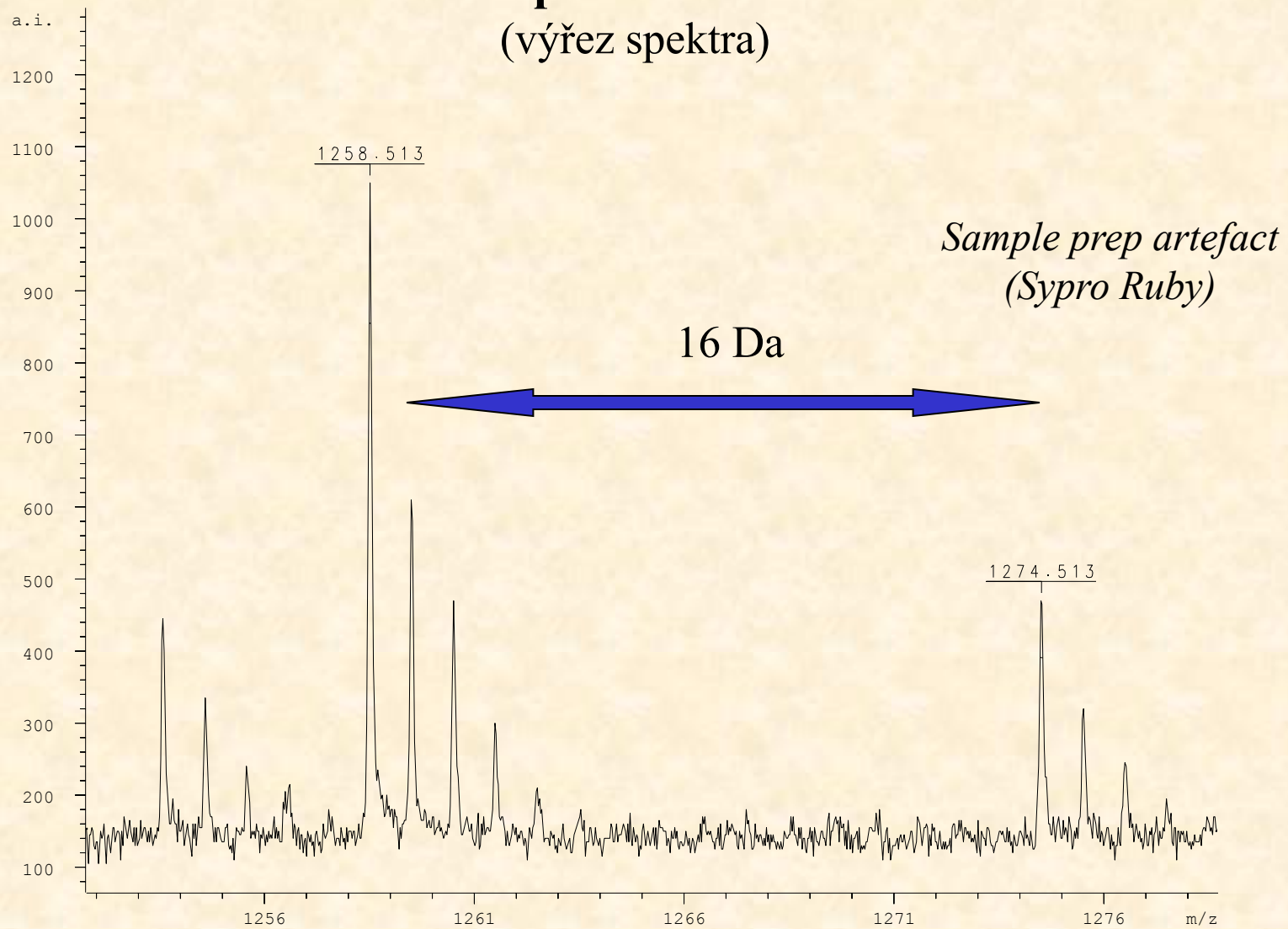
162 Da

Peptid + X

2222



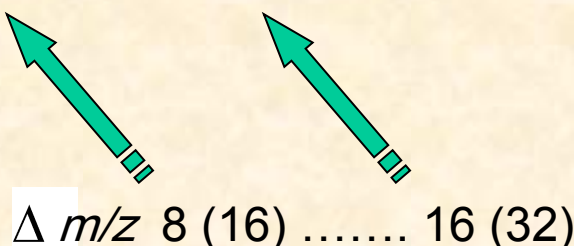
MALDI-MS spektrum – Oxidace Met (výřez spektra)



Výsledek identifikace proteinu (Mascot)

1. gi|15803837 Mass: 13532 Score: **487** Queries matched: 5
50S ribosomal protein L14 [Escherichia coli O157:H7]

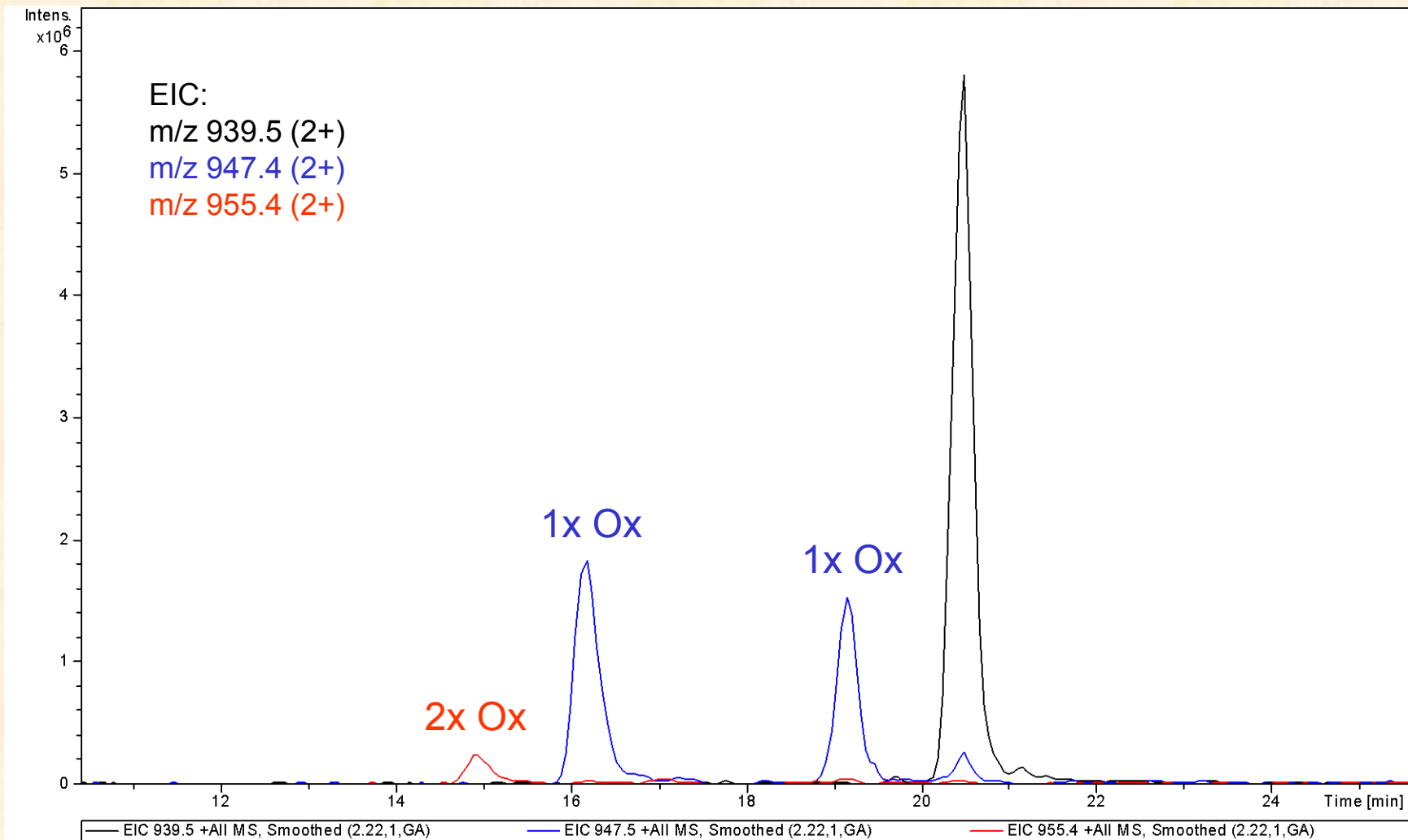
<i>Observed</i>	<i>Mr(expt)</i>	<i>Mr(calc)</i>	<i>Delta</i>	<i>Miss</i>	<i>Score</i>	<i>Peptide</i>
.....						
939.45	1876.89	1876.88	0.02	0	(125)	MIQEQTMLNVADNSGAR
947.44	1892.87	1892.87	-0.01	0	159	MIQEQT <u>M</u> LNVADNSGAR + Oxidation (M)
947.45	1892.88	1892.87	0.01	0	(147)	MIQEQT <u>M</u> LNVADNSGAR + Oxidation (M)
955.45	1908.89	1908.87	0.03	0	(118)	MIQEQT <u>M</u> LNVADNSGAR + 2 Oxidation (M)
.....						



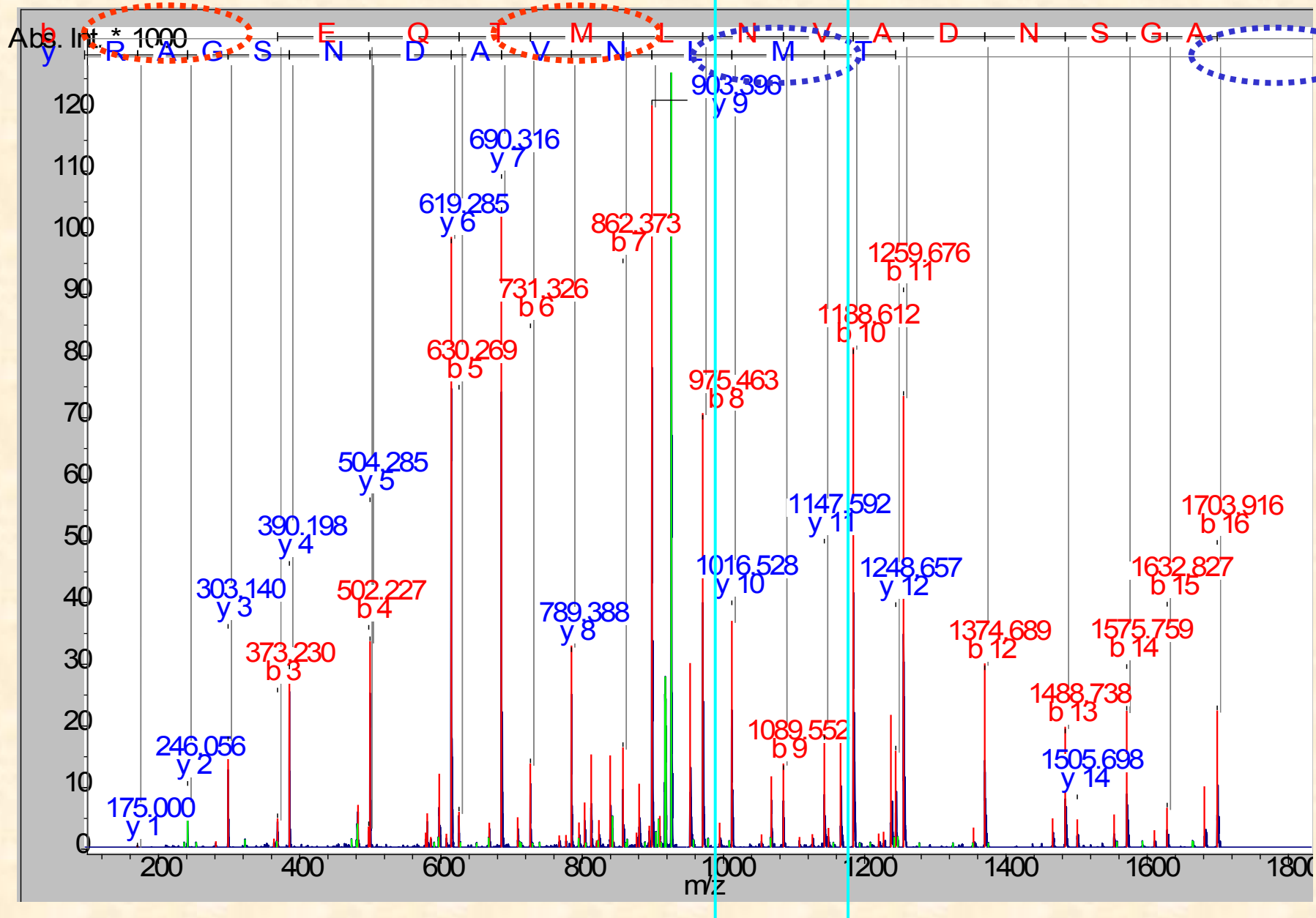
Jen část týkající se modifikovaného peptidu
(Petra P. Vz. 3, 080821)

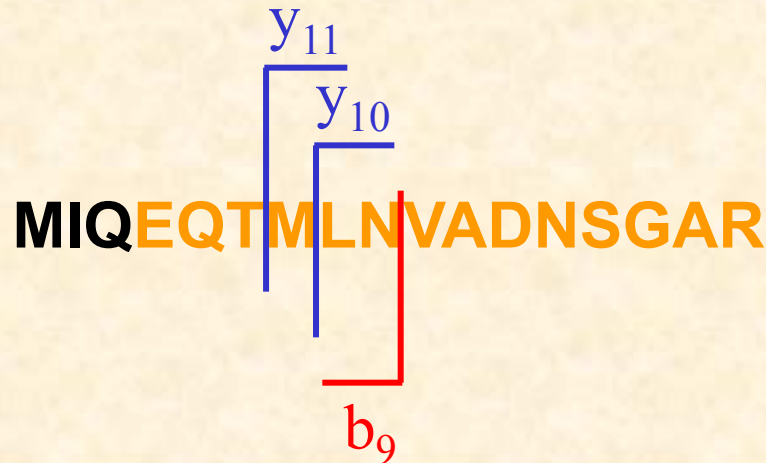
LC-MS/MS

Bi7050



MS/MS spektrum nemodifikovaného peptidu - MIQEQTMLNVADNSGAR





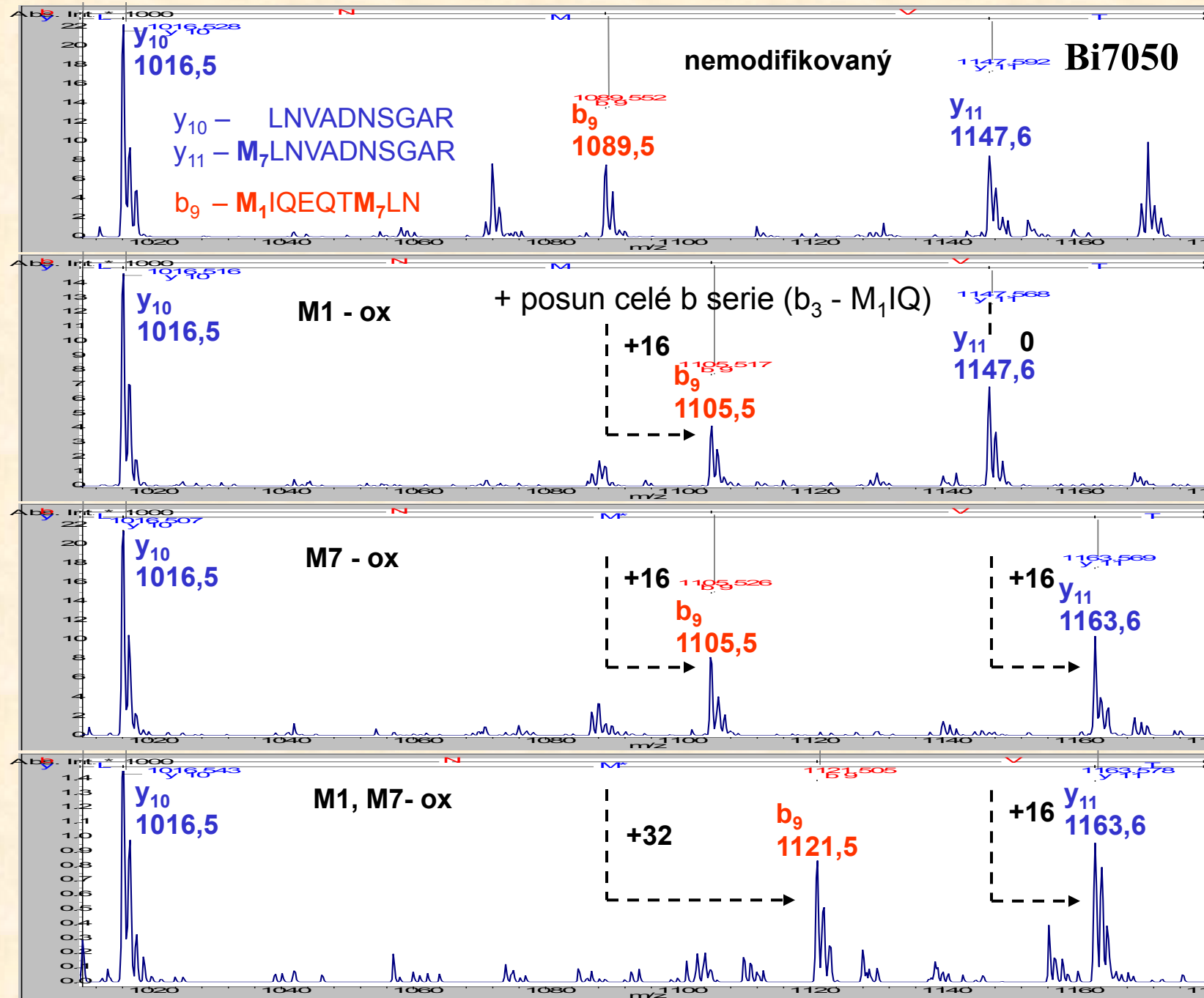
b_9 – $\mathbf{M}_1\text{IQEQT}\mathbf{M}_7\text{LN}$

y_{10} – LNVADNSGAR

y_{11} – $\mathbf{M}_7\text{LNVADNSGAR}$

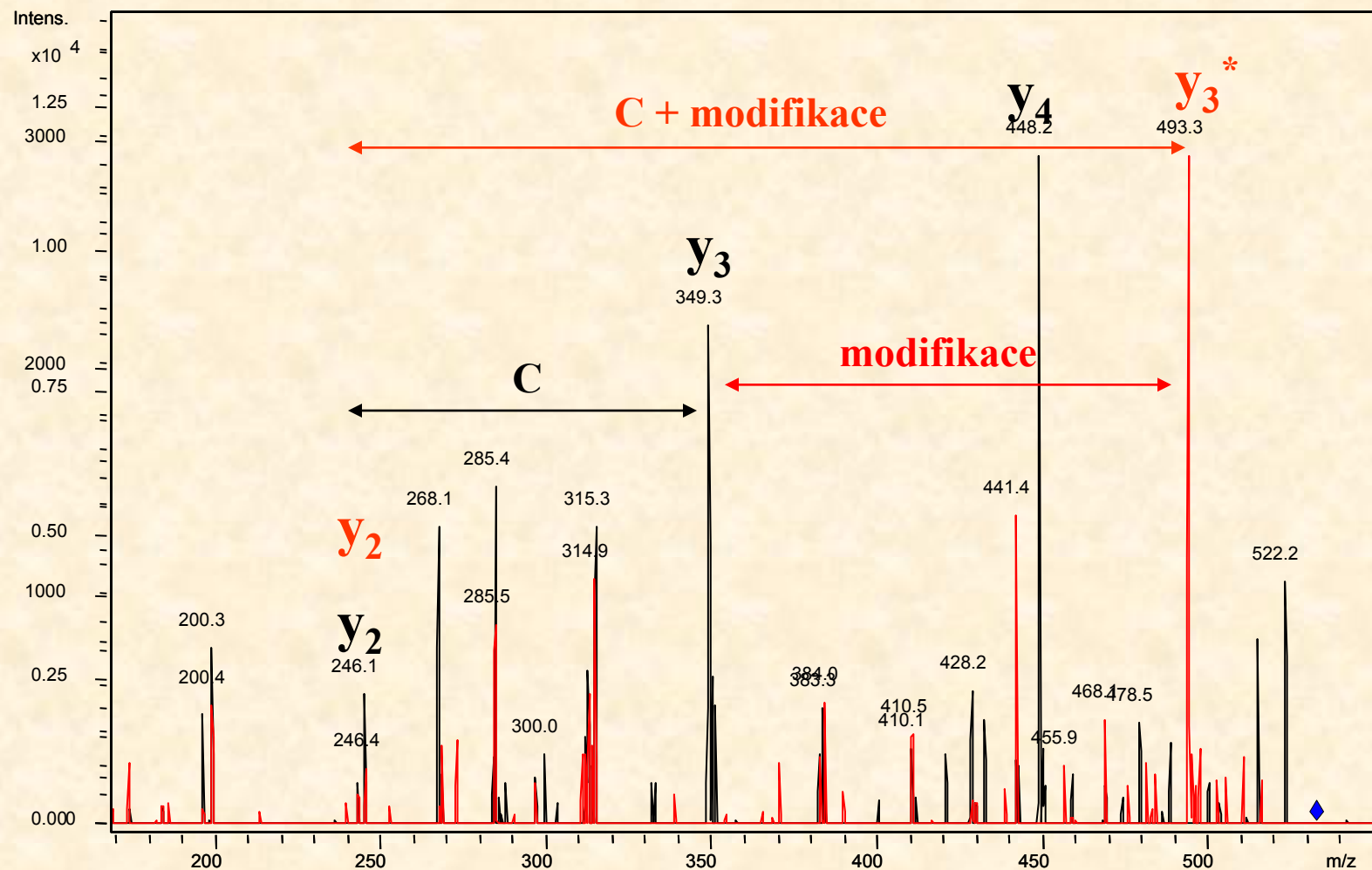
Posuny v m/z vybraných fragmentů pro jednotlivé případy $M_{(ox)}$

	<i>bez</i>	<i>1 Ox</i>	<i>1 Ox</i>	<i>2 Ox</i>
	\mathbf{M}_1	\mathbf{M}_7	oba	
y_{10}	0	0	0	0
y_{11}	0	0	16	16
b_9	0	16	16	32



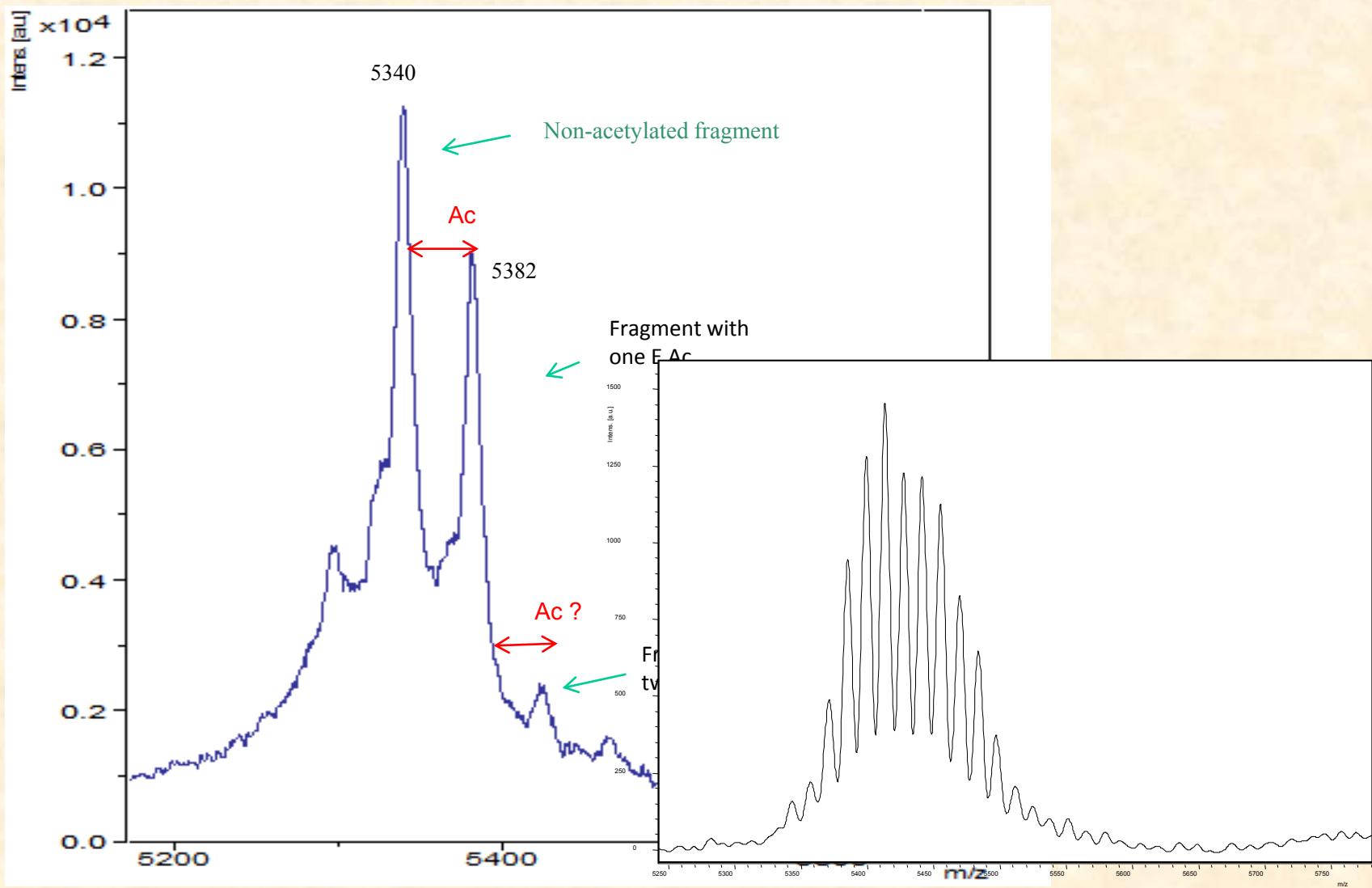
LC-MSMS spectrum (výřez spektra)

Potrzení modifikace na Cys ...VC^{*}AR



Histon H3, lokalizace acetylace (*in-vitro*) MALDI-MS digestu (detail spektra)

Bi7050

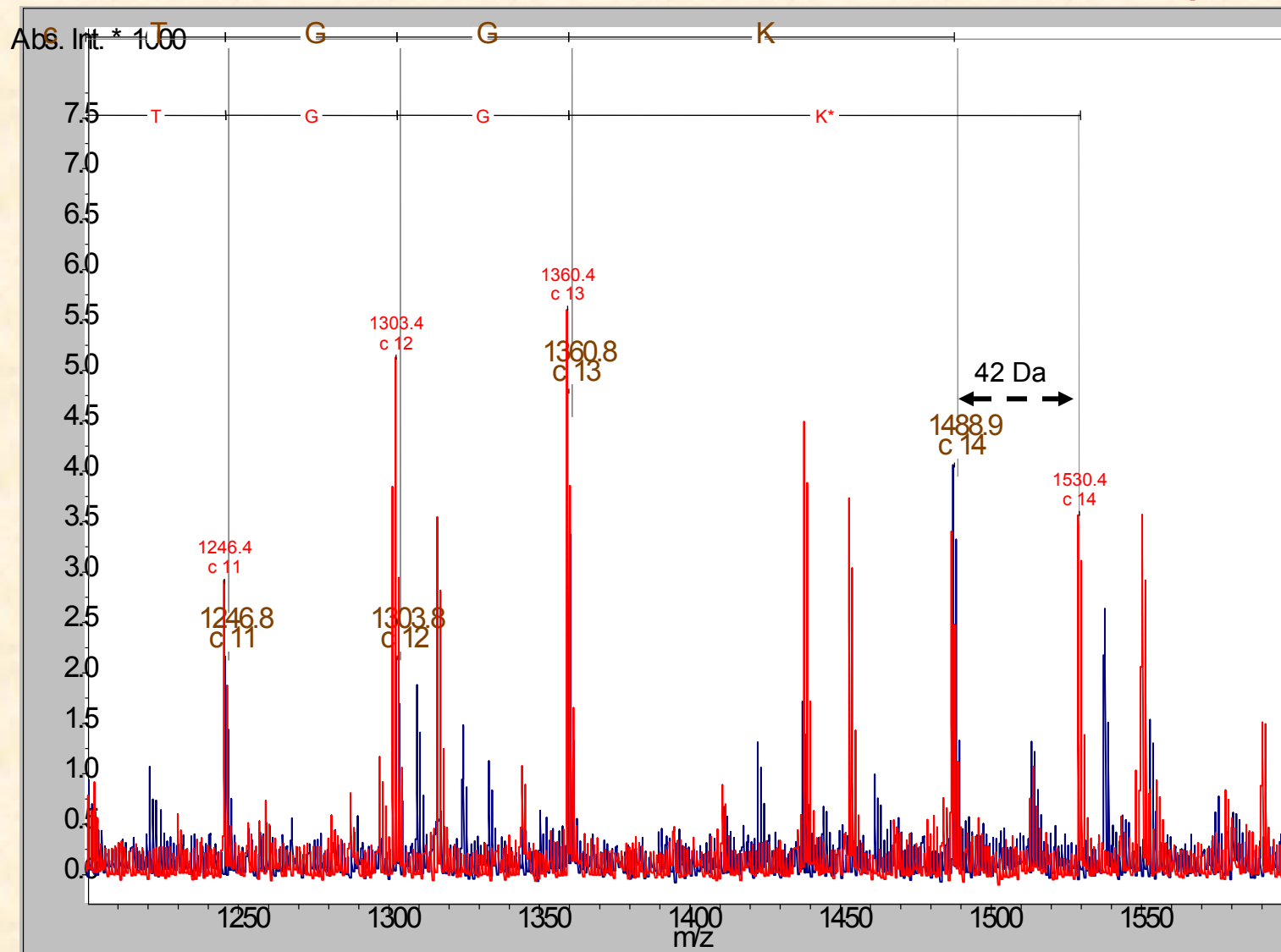


Bi7050

Histon H3, lokalizace acetylace K(14)
MALDI-MSD MS (detail spektra)

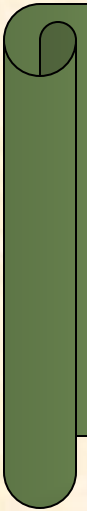


ARTKQTARKSTGGKA
APR



Bi7050





Konec III. části